

Д. Б. ХАЛЯПИН

**КОАКСИАЛЬНЫЕ
И ПОЛОСКОВЫЕ
ФИЛЬТРЫ
СВЕРХВЫСОКИХ
ЧАСТОТ**

Д. Б. Халяпин

КОАКСИАЛЬНЫЕ И ПОЛОСКОВЫЕ ФИЛЬТРЫ СВЕРХВЫСОКИХ ЧАСТОТ

Дмитрий Борисович Халяпин

КОАКСИАЛЬНЫЕ И ПОЛОСКОВЫЕ ФИЛЬТРЫ
СВЕРХВЫСОКИХ ЧАСТОТ

Редактор Ф. Г. Цейтлин

Корректор Л. Н. Лещенко

Техн. редактор К. Г. Маркова

Сдано в набор 25/III 1969 г. Полиграфия в печ. 6/V 1969 г.
Форм. бум. 84×106 $\frac{1}{2}$ 2,0 печ. л. 3,36 усл.-п. л. 3,7 уч.-изд. л.
T-0726 Тираж 18 000 экз. Зак. изд. 13841 Цена 20 коп.

Издательство «Связь», Москва-центр, Чистоврудный бульвар, 2

Типография издательства «Связь» Комитета по печати при Совете
Министров СССР. Москва-центр, ул. Кирова, 40. Зак. тип. 250



ИЗДАТЕЛЬСТВО «СВЯЗЬ»
МОСКВА 1969

УДК 621.372.54:621.3.029.6

УДК 621.372.54:621.3.029.6

Коаксиальные и полосковые фильтры
сверхвысоких частот

Д. Б. ХАЛЯПИН

Год издания 1969

В брошюре излагаются основы расчета и конструирования коаксиальных и полосковых фильтров свч из отрезков линий передачи.

Приводятся примеры расчета фильтров свч по их эквивалентным схемам с учетом особенностей реализации реактивных элементов на сверхвысоких частотах в виде отрезков линий передачи.

Приводятся конструкции фильтров свч. Рассматриваются схемы настройки фильтров и элементы подстройки фильтров свч, позволяющие устранить производственный разброс параметров фильтров.

Брошюра предназначена для техников и инженеров, интересующихся техникой свч. Она может быть также полезной подготовленным радиолюбителям.

Таблиц 8, иллюстраций 36, библиография 18.

Предисловие

Развитие современной радиотехнической аппаратуры характеризуется значительным увеличением в ее составе количества фильтрующих цепей.

Фильтры используются в приемных устройствах для подавления мешающих сигналов, частоты которых лежат вне рабочей полосы приемника, подавление гармоник излучения мощных передатчиков, разделения или сложения сигналов с различными частотами в схемах диплексеров и мультиплексеров, умножителей, преобразователей и т. п.

Фильтроподобные схемы широко используются для целей согласования при соединении элементов с различными сопротивлениями, для коррекции фазовых характеристик трактов.

За последнее время, в связи с широким освоением свч, большой интерес приобретает вопрос разработки фильтров для этого диапазона частот.

В существующей технической литературе к вопросу разработки фильтров свч или подходят с позиций электродинамики (с точки зрения распространения радиоволн в передающих линиях) или распространяют на эти фильтры положения, относящиеся к цепям с сосредоточенными параметрами.

Отождествление фильтров свч с LCR-фильтрами на сосредоточенных элементах при помощи эквивалентных схем позволяет более наглядно и просто представить схемы фильтров свч и использовать при расчете последних богатый расчетный материал теории цепей с сосредоточенными постоянными.

В то же время многообразие исходных элементов свч, которые могут быть использованы при конструировании фильтров, образование дополнительных реактивностей в месте соединения элементов свч и т. п. затрудняют построение единой теории свч фильтров.

В технической литературе, посвященной вопросу разработки фильтров свч, рассматриваются, как правило, определенные направления их создания.

В брошюре рассмотрено в основном наиболее распространенное направление конструирования коаксиальных и полосковых фильтров свч с использованием в качестве реактивных элементов отрезков линий передачи.

Рассматриваются особенности расчета и конструирования фильтров, вытекающие из использования в качестве реактивных элементов отрезков линий передачи, и наиболее простые способы расчета фильтров.

Все замечания и пожелания по брошюре следует направлять в издательство «Связь» (Москва-центр, Чистопрудный бульвар, 2).

1. Классификация и возможные структуры фильтров свч

1.1. Классификация фильтров свч

Фильтром называют линейный четырехполюсник, предназначенный для того, чтобы выделить из состава сложного электрического колебания, подведенного к его входу, частотные составляющие, расположенные в заданной полосе пропускания фильтра, и подавить частотные составляющие в заданной полосе (полосах) задерживания.

Фильтр обладает малым затуханием (a_{sp}) для сигналов с частотами, расположенными в полосе его пропускания (идеальный фильтр имеет затухание a_{sp} , равное нулю), и большим a_s для сигналов с частотами, расположенными в полосе задерживания фильтра (идеальный фильтр — бесконечно большим).

Идеальный фильтр характеризуется только полосами пропускания и задерживания, т. е. реакции переходом от затухания, равного нулю, к затуханию, равному бесконечности. Однако такой фильтр практически нереален. У реальных фильтров затухание постепенно увеличивается от a_{sp} до a_s .

Фильтры свч различаются по взаимному расположению полос пропускания и задерживания, виду используемой линии передачи, принципу действия, возможности перестройки полос пропускания или задерживания, используемому виду энергии, уровню мощности, из которой должен работать фильтр и др.

По взаимному расположению полос пропускания и задерживания фильтры делятся на следующие типы: фильтр нижних частот (ФНЧ), фильтр верхних частот (ФВЧ), полосно-пропускающий фильтр (ППФ), полосно-заграждающий фильтр (ПЗФ), многополосовой (мультитаплер).

Частотные характеристики фильтров этих типов приведены на рис. 1.1.

По виду используемой линии передачи фильтры делятся на полосковые, волноводные, коаксиальные;

по принципу действия — на отражающие и направленные;

по возможности перестройки полос пропускания или задерживания — на перестриваемые или неперестриваемые (с фиксированной настройкой);

по виду используемой энергии — электромагнитной энергии, энергии спиновых волн и др.

Выбор типа фильтра определяется теми требованиями, которые предъявляются к его частотным характеристикам.

Наиболее характерные точки и области частотной характеристики фильтра показаны на рис. 1.1.

Область между полосой пропускания и задерживания называется полосой перехода. Фильтр может характеризоваться шириной полосы перехода или крутизной нарастания затухания (например,

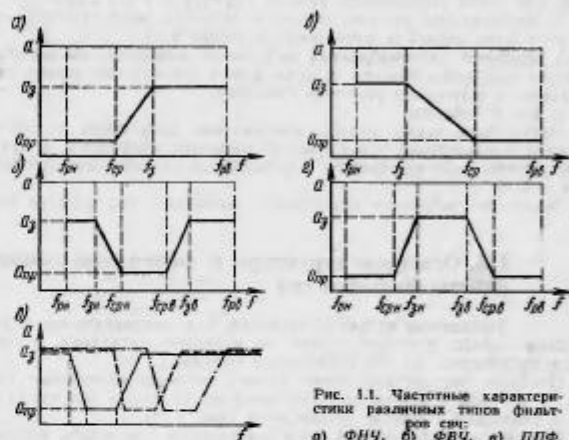


Рис. 1.1. Частотные характеристики различных типов фильтров свч:
а) ФНЧ, б) ФВЧ, в) ППФ,
г) ПЗФ, д) многополосового

в децибелах на процент расстройки). В этом случае линия частотной характеристики в области перехода обычно аппроксимируется прямой между значениями a_{sp} и a_s .

Частота, лежащая на границе полос пропускания и переходной области, называется частотой среза — f_{sp} .

Для ППФ и ПЗФ существуют две частоты среза — $f_{sp\text{--}}$, $f_{sp\text{+}}$.

Частота на границе между полосами перехода и задерживания, определяющая начало полосы задерживания, обозначается f_d . Для ППФ и ПЗФ — соответственно $f_{d\text{--}}$ и $f_{d\text{+}}$.

В реальных случаях задаются требованиями к частотным характеристикам фильтров в ограниченном диапазоне частот. Границы этого рабочего диапазона частот обозначаются на частотных характеристиках f_{ra} и f_{rb} . Это ограничение значительно упрощает задачу разработки фильтров свч (особенно учитывая то, что у них существуют дополнительные, так называемые паразитные, полосы пропускания или задерживания).

Для разработки фильтра задаются обычно следующими параметрами и характеристиками:

1. Полоса пропускания [или частота (частоты) среза фильтра].

2. Максимальный уровень затухания в полосе пропускания (a_{sp}).

Иногда задается величина максимального КСВ в полосе пропускания.

3. Полосы (полосы) задерживания фильтра. Обычно указываются участки, ограниченные заданными частотами, в которых уровень затухания должен быть не менее заданной величины. Например, для ППФ указываются участки $f_{\text{пр}} + f_{\text{ср}}$ и $f_{\text{ср}} - f_{\text{пр}}$.

4. Минимальный уровень затухания в полосе задерживания — a , (может быть задана и допустимая величина КСВ).

5. Наиболее целесообразный вид линии передачи, на котором следует выполнять фильтр (иногда может быть задан только вид входного выходного разъемов фильтра).

6. Вес и габариты.

Могут быть также заданы максимально допустимая мощность сигнала, проходящего через фильтр, интервал температур, в котором должен работать фильтр, определенные механические требования и т. п.

Заданные требования определяют возможный тип фильтра свЧ.

1.2. Основные структуры и физические основы работы фильтров свЧ

Выполнение задачи фильтрации, т. е. разделение или ограничение данных участков частот по величине затухания, может быть произведено на свЧ различными путями.

Наиболее распространенные на свЧ являются цепочечные схемы, в которых фильтруемые колебания проходят по одному пути, но с различной степенью преломления (рис. 1.2а).

Параметры фильтрующей цепи выбираются так, чтобы колебания с частотами, входящими в полосу пропускания фильтра, распространялись в цепи с минимально возможным шунтированием их параллельными ветвями ($1-1'$; $2-2'$; $3-3'$) и минимальным затуханием в элементах последовательных цепей и передавались от источника колебаний ($A-A'$) к нагрузке ($B-B'$) с малым затуханием.

Электрические колебания с частотами, входящими в полосу задерживания фильтра, максимально шунтируются параллельными ветвями и проходят из сечения ($A-A'$) к нагрузке ($B-B'$) с большим затуханием.

Фильтрация высокочастотных колебаний может быть осуществлена интерференцией фильтруемых колебаний. В этом случае сигнал направляется к месту приема по нескольким путям.

В случае прихода в точку приема ($3-3'$ на рис. 1.2б) в противофазе ($\Delta\phi=180^\circ$) составляющие сигнала вычитаются; при приходе в фазе — складываются ($\Delta\phi=0$). Величина затухания, вносимого фильтром, будет зависеть от соотношения фаз колебаний, приведших по различным путям I_1 и I_2 . Фаза колебания, приходящего в точку сложения $3-3'$, может изменяться при изменении длины пути одного или обоих отрезков, включенных между точками 2—3 (рис. 1.2б).

На рис. 1.2а показан ПЗФ на отрезках линий передачи [9]. Расстояние I_1 выбирается равным одной четверти длины волны нижней частоты среза фильтра. Максимальная величина затухания, вносимо-

мого таким фильтром, получается на частотах, где колебания приходят в точку 2 в противоположной фазе, т. е. когда электрические длины путей отрезков линии передачи от точки 1 к точке 2 становятся соответственно равными длине волны и половине длины волны.

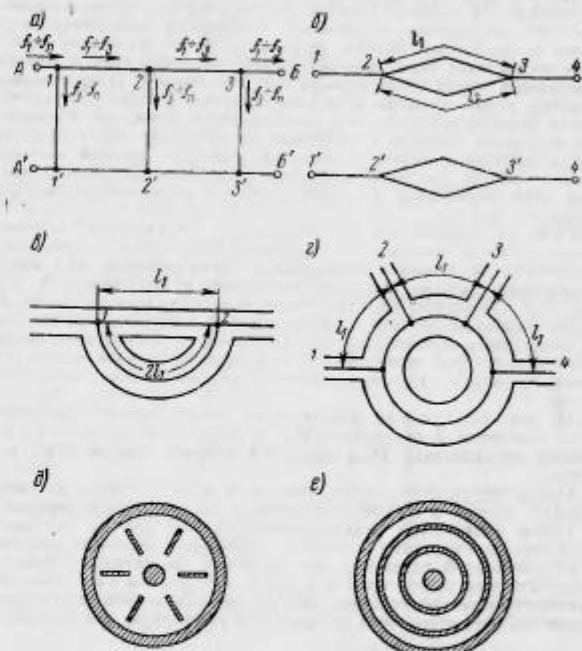


Рис. 1.2. Структуры фильтров свЧ:
а) цепочечная; б) мостовая; в) схема фильтра; г) схема гибридного кольца;
д), е) фильтры типов колы в коаксиальной линии

На рис. 1.2е показана схема гибридного коаксиального кольца. Мощность колебания, подаваемого на вход 1, делится на два направления ($1-2$) и ($1-4$).

Колебания, для которых расстояние между плечами $1-2$, $2-3$ и $3-4$ равно $\lambda/4$, приходят в точки 4 и 2 в фазе, а в точку 3 — в противофазе (т. е. затухание сигнала в направлении плечо 1 — плечо 3 получается большим).

Такие схемы могут быть использованы для создания мостовых фильтров на свч.

Рассмотренные выше два способа построения фильтрующих цепей характерны также и для низкочастотных фильтров.

На свч фильтрующие цепи могут быть получены путем, нехарактерным для низкочастотных схем, например при помощи диэлектрических материалов, обладающих различными величинами затухания на различных частотах. В качестве такого материала может быть использован намагниченный феррит, расположенный в отрезке передающей линии (коаксиальной или полосковой). Полоса задерживания такого фильтра создается областью резонансного поглощения электромагнитных волн намагниченным ферритом. Уменьшение затухания фильтра в его полосе пропускания добиваются путем согласования тракта с отрезком линии, в который включены ферриты. Обычно для этого подбирают углы скоса ферритовых пластин (или цилиндров) и ставят элементы согласования (штири, винты и т. п.).

Одно из направлений конструирования фильтров свч основывается также на возможности разделения колебаний по типам волн. Возможные типы волн в коаксиальной линии передачи, их связь с размерными линиями передачи приведены в приложении 1. На рис. 1.2d, e показаны фильтры типов волн в коаксиальной линии.

Металлические вставки в линии передачи располагаются так, что их поверхность параллельна максимуму электрического поля волны того типа, который нужно подавить, и перпендикулярна максимуму электрического поля волны того типа, который должен быть пропущен.

На рис. 1.2d показан фильтр типов волн, который пропускает $T_{E_{01}}$ колебания и подавляет $T_{M_{01}}$ колебания, а на рис. 1.2e — фильтр, подавляющий $T_{E_{01}}$ колебания и пропускающий $T_{M_{01}}$ колебания.

Одним из способов подавления волн высших типов в линии передачи состоит в выборе определенных размеров линий передачи.

Новые направления в конструировании фильтров свч открываются при использовании в качестве реактивных элементов фильтра и их комбинаций разнообразных элементов свч тракта, например, микроволновых резонаторов с малыми потерями в виде сфер из железисто-иттриевых гранатов (ЖИГ), диэлектрических материалов с высокой диэлектрической постоянной в резонаторах свч и т. п.

2. Особенности конструирования фильтров свч

2.1. Ограничение возможности использования сосредоточенных реактивных элементов на свч

Диапазону свч соответствуют частоты выше 1000 Мгц. Длинноволновая граница свч диапазона условия и определяется частотами, на которых происходит разделение между представлениями, относящимися к радиотехнике низких и высоких частот (таблицами, заставившими на использование в схемах свч сосредоточенных реактивных элементов, заставили выбрать новые пути создания реактивных элементов на этих частотах. В качестве реактивных элементов оказалось целесообразным использовать отрезки линий передачи.

как сосредоточенная емкость в виде конденсатора, индуктивность в виде катушек и т. п.).

Приведенные в технической литературе данные говорят о том, что изготавливать пригодные для практического применения сосредоточенные индуктивности в диапазоне выше 200 Мгц и сосредоточенные емкости в диапазоне выше 2,0 Гц становится затруднительно, так как между катушкой индуктивности и индуктивностью вводов конденсаторов приводят к резонансу этих элементов. Например, прямой провод длиной 30 мм и диаметром 1 мм обладает индуктивностью порядка 25 пФ [4]. При емкости монтажа порядка 12 пФ такой провод будет резонировать на частоте, близкой к 300 Мгц. Уменьшение емкости монтажа до 3-4 пФ сдвигнет резонансную частоту проводника в частотам порядка 600 Мгц. Уже в верхней части метрового диапазона частот начинает проявляться влияние индуктивности вводов сосредоточенных конденсаторов.

На частотах выше 100 Мгц влияние индуктивности вводов конденсаторов приводит к их резонансу.

На рис. 2.1a показан характер изменения емкости конденсатора типа КТК от частоты, а на рис. 2.1б — кривые затухания отрезка двухпроводной линии, в которую включены конденсаторы типа КТК различных номиналов. Максимальное затухание определяет частоту резонанса конденсатора.

Уменьшение индуктивности вводов конденсатора позволяет создать сосредоточенные емкости до частот порядка 2 Гц.

Ограничения, налагаемые на использование в схемах свч сосредоточенных реактивных элементов, заставили выбрать новые пути создания реактивных элементов на этих частотах. В качестве реактивных элементов оказалось целесообразным использовать отрезки линий передачи.

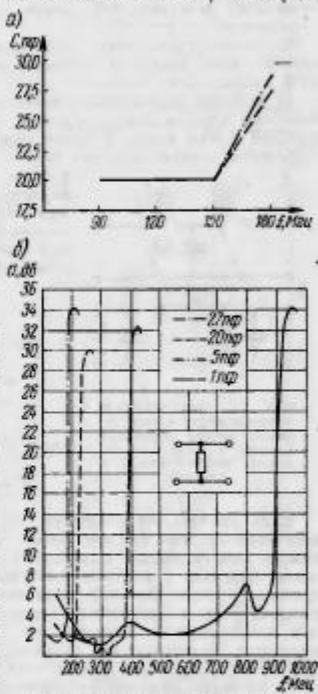


Рис. 2.1. Изменение емкости конденсаторов КТК на свч:
а) изменение емкости КТК; б) кривые затухания отрезка двухпроводной линии, в которую включены конденсаторы КТК различных номиналов

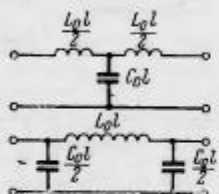
2.2. Отрезки линий передачи как реактивные элементы свч тракта

Коаксиальные и полосковые линии передачи характеризуются величиной погонной емкости и индуктивности (C_0, L_0). Величины этих реактивностей зависят от соотношения размеров линии передачи.

Возможность создания реактивных элементов на свч в виде отрезков линий передачи основана на использовании реактивностей этой линии.

В качестве реактивных элементов фильтра можно использовать короткие отрезки линий передачи, длины которых меньше одной восьмой длины волны в линии передачи.

Отрезок линии передачи может быть представлен Т- или П-образным звеном с последовательными и параллельными плечами в виде постоянных индуктивностей и емкостей, равных погонной индуктивности и емкости линии (рис. 2.2). Для коаксиальной линии величина индуктивности отрезка



$$L_0 = 2 \cdot 10^{-9} \ln \frac{D}{d} \text{ мк} \quad (2.1)$$

$$\text{и емкость} \quad C_0 = \frac{0,556 \cdot 10^{-12} \phi}{\ln \frac{D}{d}} \text{ см}, \quad (2.2)$$

Рис. 2.2. Приближенная эквивалентная схема отрезка линии передачи длиной l' . L_0, C_0 — погонные индуктивность и емкость

где D — внутренний диаметр наружного проводника коаксиальной линии, d — наружный диаметр внутреннего проводника коаксиальной линии.

Если принять во внимание, что в линии передачи отсутствует рассеяние энергии или оно очень мало (сопротивление линии и активная составляющая проводимости малы), то короткий отрезок линии передачи с высоким волновым сопротивлением можно представить последовательной индуктивностью, так как шунтирующие емкости малы и ими можно пренебречь при расчете последовательной индуктивности. Короткий же отрезок линии передачи с малым волновым сопротивлением является, по существу, емкостью, так как индуктивность его мала и ее можно пренебречь.

В качестве реактивных элементов можно использовать также длинные отрезки линии передачи.

При характерном для свч условии, что в линии передачи отсутствует рассеяние энергии или оно очень мало (первоначальные параметры R и G равны или близки к нулю), волновые параметры такой линии передачи будут иметь вид

$$\left. \begin{aligned} Z &= V L / C \\ \gamma &= i \omega V L / C \\ \alpha &= 0 \\ \beta &= \omega V L / C \end{aligned} \right\} \quad (2.3)$$

Входное сопротивление отрезка линии передачи без потерь длиной l' , нагруженной сопротивлением Z_n , равно (рис. 2.3а)

$$Z_{\text{вх}}(l') = Z \frac{1 - i k \lg \left(\frac{2 \pi l'}{\lambda} \right)}{k - i \lg \left(\frac{2 \pi l'}{\lambda} \right)}, \quad (2.4)$$

$$\text{где } k = \frac{Z}{Z_n}.$$

При коротком замыкании линии ($Z_n = 0$)

$$Z_{\text{вх}}(l') = i Z \lg 2 \pi \frac{l'}{\lambda}. \quad (2.5)$$

Входное сопротивление разомкнутого отрезка линии ($Z_n = \infty$) передачи равно

$$Z_{\text{вх}}(l') = -i Z \cig 2 \pi \frac{l'}{\lambda}. \quad (2.6)$$

Как видно из выражений входного сопротивления короткозамкнутой и разомкнутой линий без потерь, оно чисто реактивно.

Графики входного сопротивления отрезков короткозамкнутой и разомкнутой линий в зависимости от l' представлены на рис. 2.3б и в. Сравнение графиков входного сопротивления разомкнутого и короткозамкнутого отрезков линии показывает, что они сдвинуты относительно друг друга на четверть длины волны.

Из приведенных на графике кривых видно также, что на участке линий длиной в половину длины волны входное сопротивление линии изменяется от $-\infty$ до $+\infty$. Из этого следует, что, подбирая определенную длину линии передачи (короткозамкнутой или разомкнутой), мы можем получить необходимое нам реактивное сопротивление.

Приближенные эквивалентные схемы отрезков линии передачи (замкнутых и разомкнутых) показаны на рис. 2.4.

Реактивное сопротивление отрезка линии передачи в точках, где его длина совпадает с четным или нечетным числом четвертей длины волны, равно нулю или бесконечности (в зависимости от того, замкнут или разомкнут отрезок линии).

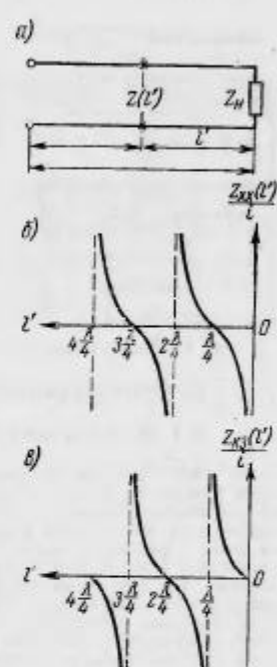


Рис. 2.3. Отрезок линии передачи (а), характер изменения его входного сопротивления при $Z_n = \infty$ (б) и при $Z_n = 0$ (в)

Эквивалентная схема отрезка линии передачи для этих частот может быть представлена в виде последовательного или параллельного контуров¹.

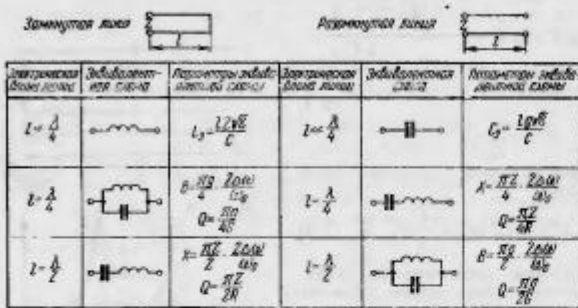


Рис. 2.6. Эквивалентные схемы замкнутой и разомкнутой линий

3. Основы расчета фильтров свЧ

3.1. Метод эквивалентных схем

Как видно из материала, приведенного в разд. 2, в качестве реактивных элементов на свЧ можно использовать короткие или резонансные отрезки линии передачи. Исходя из возможностей практического изготовления элементов, фильтры из коротких отрезков линий передачи используют при полосах пропускания фильтра, равных 10% и более. Для более узкополосных фильтров обычно используют схемы из резонаторов с непосредственной или четвертьволновой связью. При полосе пропускания порядка 1% связи между резонаторами у фильтров с непосредственной связью становятся весьма критичными и для более узкополосных фильтров используют схемы из резонаторов, разделенных отрезками $\lambda/4$ линии передачи. Разнообразие конструкций фильтров свЧ может быть объединено возможностью представления их в виде эквивалентных или схем из элементов с сосредоточенными постоянными.

Аналогичность отрезков линий передачи сосредоточенным реактивностям позволяет составить схемы из сосредоточенных элементов, эквивалентные схемы фильтров на распределенных параметрах.

Исходя из этого, был разработан принцип конструирования фильтров свЧ на распределенных параметрах, заключающийся в расчете его эквивалентной схемы из сосредоточенных элементах с последующей заменой их реактивными элементами свЧ.

На рис. 3.1 показаны схемы фильтров из отрезков линии передачи и их эквивалентные схемы на сосредоточенных параметрах.

¹) Q — нагрузочная добротность линии при нагрузке равной R . X , B — реактивные входные сопротивления и проводимость линии.

При использовании метода эквивалентных схем характеристики фильтров свЧ рассчитываются по формулам теории цепей с сосредоточенными параметрами. Могут быть вычислены постоянные передачи фильтра, вносимые им потери и т. п.

Полученные расчетные величины реактивных элементов эквивалентной схемы могут быть реализованы в виде отрезков линии передачи. Размеры отрезков линий передачи определяются, исходя из

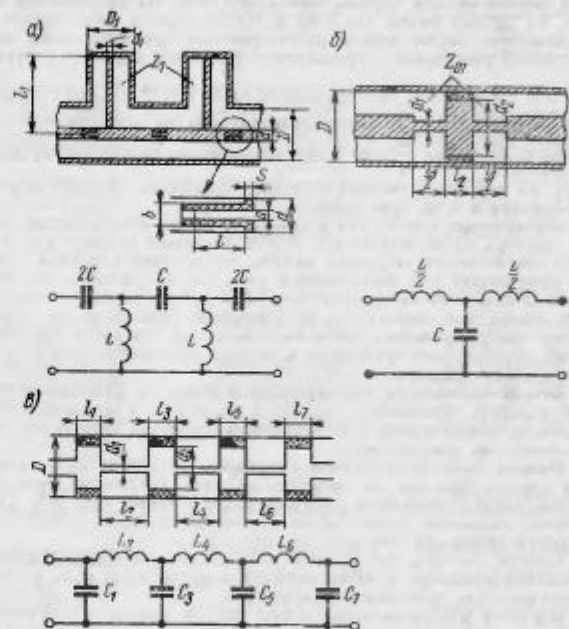


Рис. 3.1. Конструкции фильтров свЧ и их приближенные эквивалентные схемы:
а) ФВЧ, б), в) ФНЧ

требуемых величин реактивностей фильтра по ф-лам (2.1), (2.2), (2.5) и (2.6) с учетом необходимости выведения паразитных полос пропускания из рабочей полосы фильтра и дополнительных реактивностей, образующихся в месте стыка реактивных свЧ элементов, и крепления элементов.

3.2. Особенности использования отрезков линий передачи в качестве реактивных элементов в фильтрах свч

При использовании метода эквивалентных схем следует иметь в виду частотную зависимость сопротивления таких реактивных элементов, как отрезки линии передачи. Из приведенных на рис. 2.4 данных видно, что один и тот же отрезок линии передачи в диапазоне частот может рассматриваться последовательно как различные реактивные сопротивления. Например, короткозамкнутый отрезок с $l < \frac{\lambda}{4}$ на частотах полосы пропускания ФВЧ эквивалентен индуктивности; в полосе задерживания на частотах, где его длина будет равна $\frac{\lambda}{4}$, он будет эквивалентен параллельному контуру, а на еще более высоких частотах — емкости, последовательному контуру и т. п. (рис. 3.1а).

Это приведет к тому, что в диапазоне частот эквивалентная схема фильтра будет изменяться. Могут появиться условия для малого или большого затухания сигнала, аналогичные условиям полосы пропускания или задерживания там, где по расчетной эквивалентной схеме их не должно быть. Это так называемые паразитные полосы пропускания или задерживания. Необходимость устранения таких паразитных полос выдвигает, как это будет показано ниже, определенные требования к выбору параметров элементов и конструкции фильтра.

Вторая особенность конструирования фильтров из отрезков линий передачи обусловлена тем, что в месте стыка отрезков линий передачи, используемых как реактивные элементы, образуются дополнительные реактивности.

Например, последовательное соединение емкости и индуктивности в схеме фильтра свч представляет собою соединение двух отрезков линий с различными волновыми сопротивлениями (рис. 3.1). Подобные соединения вызывают появление волн высшего порядка в точке их стыка.

Обычно считают, что наличие местных волн не связано с поглощением мощности, и неоднородности в линии могут быть учтены проводимостью, реактивного характера.

В работе [17] рассмотрена задача оценки реактивностей для целого ряда неоднородностей. На рис. 3.2 показаны наиболее характерные неоднородности, встречающиеся при конструировании фильтров свч, эквивалентная схема которых может быть представлена в виде параллельно включенной в линию передачи ѹюкости.

Величина емкости, образующейся за счет неоднородности, может быть определена с помощью соответствующих графиков емкости неоднородности $C_{\text{an}}(a, t)$ на единицу длины окружности внешнего проводника коаксиальной линии (рис. 3.3).

Еще более сложный характер носят реактивности, образующиеся в месте соединения последовательных и параллельных плеч. На рис. 3.4 показаны конфигурация проводника (рис. 3.4 а) и его при-



Рис. 3.2. Неоднородности в коаксиальных линиях передачи и их эквивалентные схемы

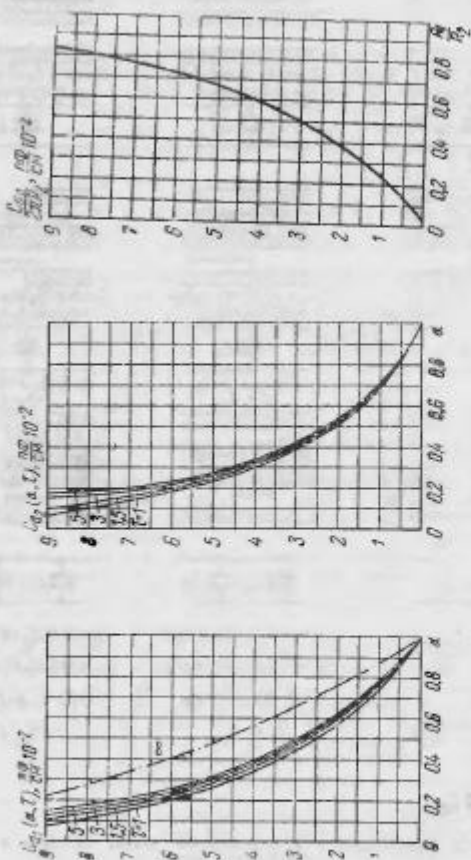


Рис. 3.3. Коники C_0 (a, b) для определения емкостей, образующихся в месте стыка, и L_0 (в) для определения индуктивности, образующейся в месте стыка, в линиях передач

ближенная эквивалентная схема (рис. 3.4б) для полосковой линии. Величина индуктивной реактивности, образующейся в месте стыка, может быть определена равенством [13]

$$\frac{X_B}{Z_0} = \frac{D}{\lambda} \left[\ln \operatorname{cosec} \frac{\pi D'}{D} + \ln 2 \right], \quad (3.1)$$

где

$$D = b + \frac{2h}{\pi} \ln 2; \quad \frac{D'}{D} + \frac{Z_0}{Z'_0},$$

h — расстояние между заземленными пластинами линии.

При конструировании фильтра свЧ эти дополнительные реактивности необходимо учитывать в реактивных элементах фильтра.

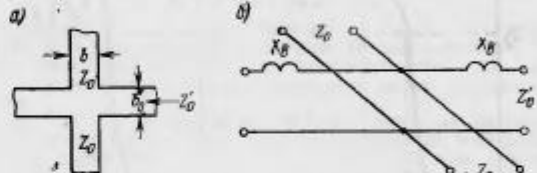


Рис. 3.4. Схема параллельного соединения отрезков линий передач (a) и ее приближенная эквивалентная схема (б)

Так, дополнительные емкости, образующиеся в месте стыка при последовательном соединении емкости и индуктивности, могут быть учтены путем уменьшения основной емкости фильтра. Особенно важен такой учет при конструировании фильтров в верхней части диапазона свЧ, где основные емкости фильтра получаются малыми, а дополнительные становятся сравнимыми с ними.

Необходимость крепления элементов фильтра в его корпусе (это особенно относится к коаксиальным конструкциям) также влияет на выбор эквивалентной схемы фильтра. Целесообразно выбирать такую схему, где реактивные элементы могут быть одновременно использованы и как крепящие элементы в конструкции фильтра.

3.3. Основные направления расчета фильтров свЧ

Метод эквивалентных схем позволяет использовать при расчете фильтров свЧ богатый расчетный материал, разработанный ранее для схем с сосредоточенными параметрами.

На свЧ в настоящее время все более широко используется расчет фильтров по рабочим параметрам. Он постепенно вытесняет расчет по характеристическим параметрам ввиду приближенности последнего и неэкономичности в расходовании элементов.

Однако способы расчета по характеристическим параметрам все еще широко используются в тех случаях, когда к фильтрам не

предъявляют особо жестких требований по электрическим и другим параметрам (вес, габариты и т. п.). Этому способствует наличие простых проверенных практикой способов расчета, в которых учитывается специфика построения фильтров свч.

В некоторых, например, дается указание о выборе элементов фильтра таким образом, чтобы избежать появления паразитных полос пропускания (или задерживания) в рабочей полосе фильтра (как это будет показано в расчете ФНЧ и ФВЧ), приводится порядок учета дополнительных реактивностей в местах стыка реактивностей и т. п.

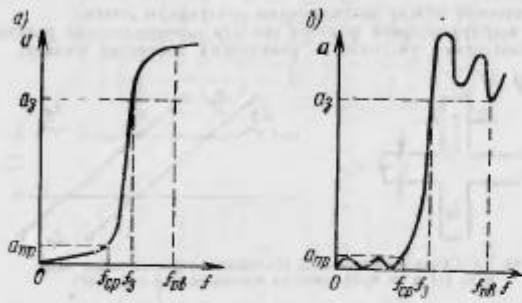


Рис. 3.5. Частотные характеристики ФНЧ для случая максимальной плоской (а) и чебышевской (б) аппроксимаций

В настоящее время в качестве функций аппроксимации частотных характеристик фильтров наиболее широко используются максимально плоские функции Баттерворса и полиномы Чебышева.

Затухание, вносимое фильтром свч, в этом случае имеет вид, показанный на рис. 3.5.

Для расчета фильтров в настоящее время широко используют аналитический, графический и графоматематический способы расчета.

Выведенные соотношения позволяют определить необходимое количество элементов фильтра (n) для выполнения поставленных требований при наиболее распространенных функциях аппроксимации:

а) для ППФ с чебышевской характеристикой

$$n = \frac{\operatorname{Ar} \operatorname{ch} \sqrt{\frac{L_2 - 1}{L_{np} - 1}}}{\operatorname{Ar} \operatorname{ch} \frac{f_2}{f_{np}}} ; \quad (3.2)$$

б) для ППФ с максимально плоской характеристикой

$$n = \frac{\operatorname{lg} \sqrt{\frac{L_2 - 1}{L_{np} - 1}}}{\operatorname{lg} \frac{f_2}{f_{np}}} , \quad (3.3)$$

где

$$\begin{aligned} \gamma &= \frac{f}{f_2} - \frac{f_2}{f} ; \\ a &= 10 \lg L ; \\ f_2 &= \sqrt{f_{cp,n} f_{cp,s}} . \end{aligned}$$

Для упрощения расчета таких фильтров эта задача катализирована [3, 18] в виде добротности контуров. Подобные фильтры достаточно просто при выполнении на полосковых линиях (см. рис. 4.6). На практике также широко используется расчет фильтров по графикам.

На рис. 3.6 а показаны кривые рабочего затухания фильтров верхних и нижних частот [2] для различного количества реактивных элементов в схеме фильтра (три, пять и семь). По этим кривым определяется необходимый ярус фильтра (по количеству элементов в схеме фильтра), исходя из требуемой величины затухания на частоте $f_2 - a_2$ в полосе задерживания (по отношению f_2/f_{cp}) и величине затухания a_{np} в полосе пропускания.

Параметры схемы фильтра определяются из выражений: параметры схемы фильтра нижних частот

$$\left. \begin{aligned} C_1 &= \frac{x_1}{2\pi f_{cp} R}, \quad \phi; \quad L_1 = \frac{x_2 R}{2\pi f_{cp}}, \quad \text{зн} \\ C_2 &= \frac{x_3}{2\pi f_{cp} R}, \quad \phi; \quad L_2 = \frac{x_4 R}{2\pi f_{cp}}, \quad \text{зн} \end{aligned} \right\}; \quad (3.4)$$

параметры схемы фильтра верхних частот

$$\left. \begin{aligned} C_3 &= \frac{1}{x_2 2\pi f_{cp} R}, \quad \phi; \quad L_3 = \frac{R}{x_1 2\pi f_{cp}}, \quad \text{зн} \\ C_4 &= \frac{1}{x_4 2\pi f_{cp} R}, \quad \phi; \quad L_4 = \frac{R}{x_3 2\pi f_{cp}}, \quad \text{зн} \end{aligned} \right\}. \quad (3.5)$$

Величины коэффициентов x определяются из табл. 3.1.

Расчет полоснопропускающих и полоснозадерживающих фильтров может быть произведен на основе нормированного фильтра нижних частот («прототипа») с переводом его элементов L и C в контуры LC в соответствии с табл. 3.2 [8].

При рассмотрении процесса расчета фильтров свч следует более подробно остановиться на особенностях их реализации. Может оказаться, что легко рассчитываемый фильтр окажется трудноисполнимым на практике. Практика разработки фильтров свч выделила оп-

определенное количество схем фильтров, которые обладают простотой в расчете, изготовлении и настройке, хорошей повторяемостью характеристик.

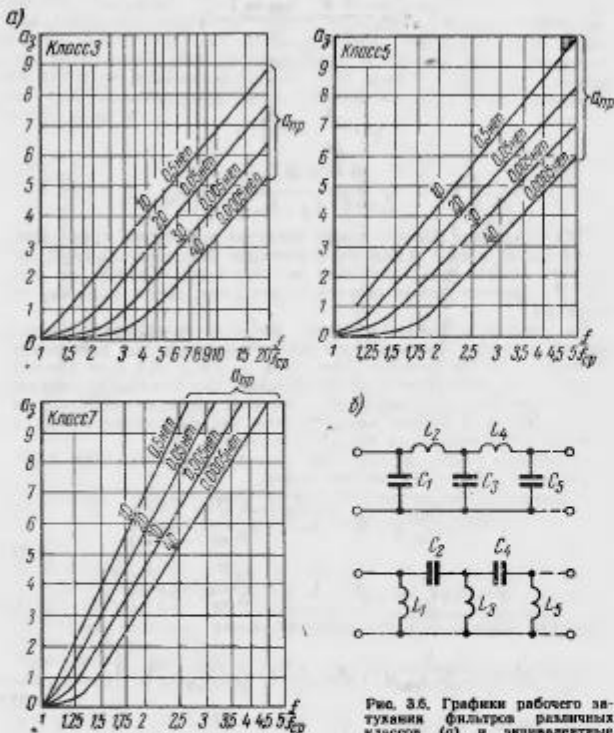


Рис. 3.6. Графики рабочего зазуления фильтров различных классов (а) и эквивалентные схемы ФНЧ и ФВЧ (б)

При этом расчет их может производиться как по характеристическим, так и по рабочим параметрам.

Особенно удобны на практике способы расчета фильтров, в результате которых получаются исходные данные для их конструктирования в виде параметров отрезков линий передачи (вольновое сопротивление и длина отрезка линии передачи).

Рассмотрим примеры расчета некоторых типов фильтров, наименее широкое практическое применение.

Таблица 3.1

№ кривых из рас. 3.6а	Величины коэффициентов x фильтров различных классов							
	Класс третий		Класс пятый			Класс седьмой		
	$x_1=x_2$	x_3	$x_1=x_6$	$x_2=x_4$	x_3	$x_1=x_2$	$x_3=x_4$	$x_5=x_6$
1,0	1,575	1,100	1,715	1,225	2,415	1,740	1,275	2,575
1,2	1,380	1,130	1,500	1,300	2,280	1,515	1,340	2,330
1,4	1,210	1,145	1,295	1,345	2,140	1,350	1,355	2,230
1,6	1,080	1,150	1,170	1,375	1,995	1,230	1,425	2,125
1,8	0,950	1,140	1,065	1,390	1,895	1,100	1,440	2,020
2,0	0,850	1,115	0,980	1,380	1,800	1,006	1,446	1,940
2,2	0,780	1,080	0,900	1,365	1,700	0,935	1,443	1,870
2,4	0,715	1,040	0,830	1,335	1,640	0,850	1,430	1,806
2,6	0,645	0,995	0,775	1,300	1,575	0,794	1,400	1,750
2,8	0,585	0,950	0,715	1,265	1,520	0,756	1,375	1,706
3,0	0,540	0,866	0,665	1,230	1,465	0,706	1,345	1,660
3,2	0,495	0,845	0,630	1,195	1,400	0,660	1,315	1,610
3,4	0,450	0,785	0,565	1,165	1,350	0,615	1,280	1,570
3,6	0,406	0,735	0,525	1,130	1,285	0,585	1,245	1,530
3,8	0,365	0,675	0,500	1,085	1,235	0,550	1,200	1,485
4,0	0,335	0,630	0,470	1,025	1,200	0,525	1,165	1,455

1. ФНЧ из коротких отрезков передающих линий (рис. 3.1 б). Расчет такого фильтра может быть произведен с помощью графиков, приведенных на рис. 3.7 [9], или по рабочим параметрам на основании кривых, приведенных на рис. 3.6а [2].

При первом способе в качестве исходных параметров задаются величины электрических длин отрезков линии передачи с большим и малым волновым сопротивлением $\theta = \frac{2\pi l}{\lambda_{ср}}$.

Эти величины определяют положение парезитных полос пропускания фильтра. Обычно берут $\theta_2=20^\circ$; $\theta_1=40^\circ$.

Из графика рис. 3.7а определяют промежуточный коэффициент p , а из графика рис. 3.7б — отношение волнового сопротивления отрезка линии, используемого в качестве индуктивности, к характеристическому сопротивлению фильтра (его обычно берут равным волновому сопротивлению линии).

Из полученных данных определяют волновое сопротивление отрезков линии передачи, используемых в качестве емкости и индуктивности.

Таблица 3.2

Тип фильтра	Преобразование частоты	Элементы простого	Элементы фильтра и его расчетные формулы
ФНЧ	$x = \frac{f}{f_{cp}}$	L_0	L $L = \frac{L_0}{\omega_{cp}}$
		C_0	C $C = \frac{C_0}{\omega_{cp}}$
ФВЧ	$x = \frac{f_{cp}}{f}$	L_0	C $C = \frac{1}{\omega_{cp} L_0}$
		C_0	L $L = \frac{1}{\omega_{cp} C_0}$
ЛПФ	$\frac{f_{cp} - f_{sf}}{f_{cp} - f_{sf} - f_{sf}/\Delta}$	L_0	L, C $L = \frac{L_0}{\Delta}, C = \frac{1}{\omega_0^2 L}$
		C_0	L, C $C = \frac{C_0}{\Delta}, L = \frac{1}{\omega_0^2 C}$
ПЗФ	$\frac{f_{cp} - f_{sf}}{f_{cp}^2 - f_{sf}^2}$	L_0	L, C $L = \frac{1}{L_0 \Delta}, C = \frac{1}{\omega_0^2 L}$
		C_0	L, C $L = \frac{1}{C_0 \Delta}, C = \frac{1}{\omega_0^2 L}$
$\Delta = \omega_{cp} \beta - \omega_{cp} \beta_H, \quad \omega_0^2 = \omega_{cp} \beta \cdot \omega_{cp} \beta_H$			

Далее, задаваясь величиной внутреннего диаметра коаксиальной линии или размерами полюсовой линии, с учетом диэлектрика, используемого в фильтре, определяют размеры элементов фильтра.

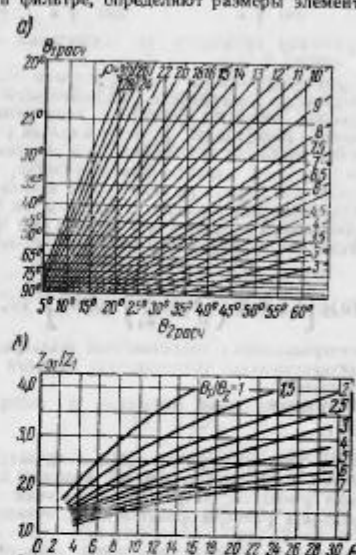


Рис. 3.7. Кривые для расчета ФНЧ из коротких отрезков передающих линий

При вычислении длины отрезка, используемого в качестве емкости, необходимо определить, насколько он должен быть уменьшен за счет емкости, образующейся в месте перехода диаметра центральной жилы фильтра. Это может быть сделано по формуле

$$\theta_{ex} = 2 \arctan \left(\tan \frac{\theta_{per}}{2} - B_e Z_{st} \right), \quad (3.6)$$

где

$$B_e Z_{st} = 1.96 f_{cp} D C_d (a, \tau) Z_{st} 10^{-5},$$

f_{cp} — частота среза фильтра,

D — диаметр внешнего проводника коаксиальной линии.

Величина $C_d (a, \tau)$ определяется из графика, представленного на рис. 3.3.

Длины линий определяются из соотношения:

$$l_1 = \frac{\Theta_1}{360} \frac{\lambda_{ep}}{V_s}, \quad l_2 = \frac{\Theta_2}{360} \frac{\lambda_{ep}}{V_s}, \quad (3.7)$$

где ϵ — диэлектрическая проницаемость диэлектрика, используемого в отрезках линии.

Недостатком рассматриваемого способа расчета ФНЧ является относительная сложность зависимости, показывающей связь между требуемым числом элементов фильтра и величинами затухания фильтра в полосах пропускания и задерживания [9].

Количество ячеек фильтра, необходимое для создания требуемой крутизны скатов частотной характеристики фильтра, может быть определено из частотной характеристики одной ячейки фильтра [5] на основе анализа экспериментальных характеристик ранее разработанных (или описанных в технической литературе) фильтров подобной конструкции или из выражения затухания m -звенного фильтра [2]

$$a = 10 \lg \left[1 + 0,25 \left(\frac{Z_1}{\rho} + \frac{\rho}{Z_1} \right)^2 \sin m \alpha \right], \text{ дБ,}$$

где Z_1 — характеристическое сопротивление фильтра,

$Z_1 = i x_1$ — характеристическое сопротивление фильтра в полосе задерживания,

ρ — сопротивление линии передачи, в которую включен фильтр.

Пример.

Задано: частота среза фильтра $f_{cp}=2000 \text{ MГц}$, затухание в диапазоне частот $3000-10000 \text{ MГц}$ $a_0 \geq 30 \text{ дБ}$, волновое сопротивление подводящих линий $\rho=50 \text{ Ом}$, затухание в полосе пропускания $a_{sp} \leq 3 \text{ дБ}$. Определить размеры фильтра, выполненного на коаксиальной линии с $D=12 \text{ мм}$.

Определяем параметры Т-образного звена фильтра. Принимаем $\Theta_2=20^\circ$; $\Theta_1=40^\circ$. Такие значения Θ обеспечивают отсутствие паразитных полос пропускания в заданной по условию полосе задерживания.

Из графика 3.7а определяем $\rho=12,4$, а из 3.7б — отношение $Z_{10}/Z_{1s}=2,88$.

Величина Z_{10} равна волновому сопротивлению линии, т. е. $Z_{10} = \frac{144}{12,4} = 11,6 \text{ Ом}$, а $Z_{1s} = \frac{144}{2,88} = 50 \text{ Ом}$, отсюда $Z_{10} = 2,88 Z_{1s} = 144 \text{ Ом}$.

Полученные данные позволяют сравнительно просто сконструировать фильтр как на плосковолевой, так и на коаксиальной линии передачи.

Рассмотрим коаксиальную конструкцию фильтра. Для определения размеров центральной жилы фильтра выберем (она обычно задается) диаметр коаксиальной линии.

Диаметры отрезков линии передачи с большим и малым волновыми сопротивлениями могут быть получены из соотношений:

$$\frac{D}{d_1} = e^{\frac{144}{60}} = 11,03; \quad \frac{D}{d_2} = e^{\frac{11,6 V_s}{60}} = 1,32.$$

диэлектриком заполняется только отрезок линии с малым волновым сопротивлением I_2 (см. рис. 3.1б).

В качестве диэлектрика в схеме фильтра используем фторопласт -4 ($\epsilon=2,27$).

Отсюда

$$d_1 = 1,08 \text{ мм}; \quad d_2 = 9,1 \text{ мм}.$$

При определении длины отрезков линии передачи, необходимо учесть и скомпенсировать дополнительные реактивности, которые образуются в месте стыка двух отрезков линии передачи. В данном случае стыкуются отрезки линии передачи с большим и малым волновыми сопротивлениями.

Как было показано выше, при этом образуется дополнительная емкость. Ее величина может быть определена с помощью графиков, приведенных на рис. 3.3а, и учтена путем уменьшения емкости ячеек фильтра (умножением длины отрезка линии передачи с малым волновым сопротивлением).

Определяем величину $C_{x1}(\epsilon, \tau) \approx 0,06 \text{ пФ/см}$ и по формуле (3.6) определяем сккоректированную величину Θ_{x1} .

Длины отрезков линии передачи согласно (3.7) равны:

$$l_1 = \frac{40}{360} \cdot 150 = 16,7 \text{ мм};$$

$$l_2 = \frac{16}{360} \cdot \frac{150}{\sqrt{2,0}} = 5,5 \text{ мм}.$$

Первая паразитная полоса пропускания, обусловленная резонансом отрезка l_1 , лежит в районе 9000 МГц .

Согласно зависимости, определяющей величину затухания ячейки фильтра в полосе задерживания, для достижения требуемого затухания на $f_s=3000 \text{ МГц}$ необходимо иметь несколько более двух ячеек фильтра. Мы берем три ячейки.

Аналогичная схема ФНЧ может быть рассчитана по рабочим параметрам с помощью графиков 3.3а.

Из заданной величины затухания 30 дБ на $f_s/f_{cp}=1,5$ по графику 3.6а определяем класс фильтра, который удовлетворяет этому требованию. При допустимом затухании в полосе пропускания порядка 3 дБ в качестве такого фильтра может быть выбран фильтр 7-го класса.

Величины реактивных элементов фильтра в соответствии с табл. 3.1 могут быть определены из следующих соотношений (3.4):

$$C_1 = C_7 = \frac{1,74}{2\pi \cdot 2000 \cdot 10^6 \cdot 50} = 2,8 \text{ пФ};$$

$$C_3 = C_5 = \frac{2,57}{2\pi \cdot 2000 \cdot 10^6 \cdot 50} = 4,1 \text{ пФ};$$

$$L_2 = L_6 = \frac{1,27 \cdot 50}{2\pi \cdot 2000 \cdot 10^6} = 5,1 \text{ нГн.}$$

$$L_4 = \frac{1,36 \cdot 50}{2\pi \cdot 2000 \cdot 10^6} = 5,46 \text{ нГн.}$$

Эти реактивные элементы могут быть реализованы в виде коротких отрезков линии передачи при сохранении соотношений диаметров ранее произведенного расчета ($d_2=9,1$ мм; $d_1=1,08$ мм; $D=12,0$ мм):

$$l_1 = l_7 = \frac{1,81 \cdot 2,8}{2 \left(\frac{6}{1,5} - 0,5 \right)} = 7,2^{\circ} \text{ мм};$$

$$l_2 = l_6 = 10,4^{\circ} \text{ мм};$$

$$l_3 = l_5 = \frac{5,1 \cdot 10^{-9} \cdot 3 \cdot 10^{10}}{144} = 10,7 \text{ мм};$$

$$l_4 = \frac{5,46 \cdot 10^6 \cdot 3 \cdot 10^{10}}{144} = 11,5 \text{ мм}.$$

Следует отметить определенную сложность выполнения ФНЧ, рассчитанного по рабочим параметрам. Она заключается в том, что все элементы конструкции фильтра получаются различными.

2. Фильтр верхних частот из коротких отрезков передающих линий. Конструкция фильтра ФВЧ и его эквивалентная схема показаны на рис. 3.1а.

Расчет фильтра верхних частот может быть сравнительно просто произведен с помощью графика, приведенного на рис. 3.8.

Параметры короткозамкнутого отрезка линии передачи, используемого в качестве индуктивности, могут быть определены из следующих соотношений: его длина

$$l_1 = \frac{\lambda_{sp}}{4}, \quad (3.8)$$

Рис. 3.8. Кривые для расчета ФВЧ из коротких отрезков передающих линий

где λ_{sp} — длина волны, соответствующая верхней частоте рабочей полосы пропускания фильтра (f_{sp}); его волновое сопротивление определяется из выражения

$$Z_1 = \frac{R}{\operatorname{tg} \theta}. \quad (3.9)$$

Величина θ определяется из графика рис. 3.8 и зависит от ширины используемого фильтра в полосе пропускания участка частот,

* Величины отрезков с малым волновым сопротивлением должны быть уменьшены для компенсирования емкости, образующейся в месте стыка реактивных элементов в соответствии с выражением (3.6). l_1, l_7 до 6,0 мм; l_3, l_5 до 8,5 мм.

т. е. от соотношения f_{sp}/f_{cp} . Как видно из кривых, приведенных на графике (рис. 3.8), увеличение ширины используемого участка частот в полосе пропускания фильтра, т. е. отношения f_{sp}/f_{cp} , требует увеличения омности этого отрезка линии передачи.

Величина последовательной емкости фильтра может быть найдена из соотношения

$$C = \frac{l}{R c \theta}, \quad (3.10)$$

где θ — в радианах; $c = 3 \cdot 10^8$ см/сек; R — в омах.

Пример.

Задано: частота среза $f_{cp}=360$ МГц, полоса пропускания фильтра должна лежать в пределах 360–2500 МГц, волновое сопротивление подводящих линий $r=50$ ом, величина затухания на частотах 180–280 МГц $a_s \geq 25$ дБ. Определить размеры фильтра, выполняемого на коаксиальной линии с $D=12$ мм.

Из графика рис. 3.8 определяем величину θ для требуемого отношения f_{sp}/f_{cp} .

Для нашего случая $f_{sp}/f_{cp}=7$.

Величина Θ для такого соотношения f_{sp}/f_{cp} равна 17°. Определим параметры короткозамкнутого отрезка линии передачи. Его волновое сопротивление согласно формуле (3.9) равно

$$Z = \frac{R}{\operatorname{tg} \theta} = \frac{50}{0,305} = 164 \text{ ом.}$$

Его длина согласно (3.8)

$$l_1 = \frac{\lambda_{sp}}{4} = \frac{150}{4} = 37,5 \text{ мм.}$$

Величина последовательной емкости ячейки фильтра согласно (3.10)

$$C = \frac{l}{R c \theta} = 5,2 \text{ пФ.}$$

Определим размеры элементов конструкции фильтра.

Для обеспечения крепления отрезка линии, используемого в качестве индуктивности, его диаметр выбираем несколько меньше диаметра D_1 основной линии, выберем его равным 10 мм. Определяем толщину центрального проводника этого отрезка:

$$\frac{D_1}{d_1} = 10,7; \quad d_1 = 0,94 \text{ мм.}$$

Емкость C конструктивно может быть выполнена в виде диэлектрического цилиндра, включаемого в разрыв центральной жилы коаксиальной линии (рис. 3.10). Эквивалентная схема такой емкости представляет собой две параллельно включенные емкости, образованные соответственно бортиком C_b и самой втулкой C_v .

Величины емкостей определяются соотношениями:

$$\left. \begin{aligned} C_0 &= \frac{S \cdot \epsilon}{4d\pi} \\ C_{\text{вт}} &= \frac{0,556 \cdot \epsilon}{\ln \frac{b}{d}} I \end{aligned} \right\} \quad (3.11)$$

Общую емкость ячейки фильтра делим между C_0 и $C_{\text{вт}}$ так:

$$C_0 = 0,4 \text{ пФ}, \quad C_{\text{вт}} = 4,8 \text{ пФ}.$$

В качестве диэлектрика выбираем материал ПТ-10 ($\epsilon=10$).

Диаметр внутренней жилы фильтра равен 5,2 мм. Задаемся наружным диаметром втулки 3,3 мм и внутренним 2,3 мм.

Длина втулки может быть определена из соотношения

$$I = \frac{C_{\text{вт}} \cdot 2,3 \lg b/a}{0,556 \cdot 10} = 5,75 \text{ мм.}$$

Толщина бортика втулки S при обеспечении необходимой величины C_0 равна

$$S = \frac{S \cdot \epsilon}{4C_0 \pi} = 0,9 \text{ мм.}$$

Требуемая величина затухания в полосе задерживания обеспечивает постановкой двух ячеек фильтра.

3. Полоскнопропускающие и полоснограждающие фильтры из резонансных отрезков линий передачи. Резонансные отрезки линии передачи наиболее часто используют при конструировании ППФ и ПЗФ. В существующей технической литературе процесс расчета таких фильтров с непосредственными и четвертьвольновыми связями рассмотрен достаточно подробно [3, 9, 11, 18]. Решение задачи каталогизировано, даются графики для определения размеров отрезков передающих линий, приводятся примеры инженерного расчета фильтров. Основной частью фильтров являются резонаторы, выполненные на короткозамкнутых (с одной или двух сторон) или разомкнутых отрезках линии передачи.

Подобные резонаторы, как и контуры LC , можно характеризовать с помощью понятий нагруженной и собственной добротности.

Выше (рис. 2.4) были приведены зависимости, характеризующие резонаторы из короткозамкнутых и разомкнутых отрезков линии передачи.

Добротность контура может быть определена как отношение $W_{\text{заколпленной}}$ в резонаторе энергии к энергии, рассеянной за период $W_{\text{ро}}$ [18]:

$$Q = 2\pi \frac{W_{\text{зак}}}{W_{\text{ро}}}. \quad (3.12)$$

Различаются две добротности резонаторов: собственная (ненагруженная) — Q_0 и нагруженная добротность резонатора, связанного со входной и выходной нагрузками — $Q_{\text{вт}}$.

Для практических целей более удобно определение нагруженной добротности как отношение

$$Q_{\text{вт}} = \frac{f_0}{f_{\text{воб}}/f_0 - f_0/f_{\text{воб}}}, \quad (3.13)$$

где f_0 — резонансная частота резонатора;
 $f_{\text{воб}}$ — частота, на которой рабочее затухание контура достигает 3 дБ.

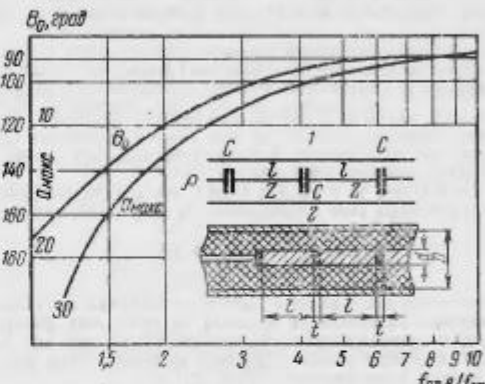


Рис. 3.9. Кривые для расчета ППФ из резонансных отрезков линии передачи (1 — эквивалентная схема, 2 — конструкция)

Связь между затуханием резонатора a_p и его добротностями определяется соотношением

$$a_p = 10 \lg \left(\frac{Q_0}{Q_0 - Q_{\text{вт}}} \right)^2. \quad (3.14)$$

ППФ и ПЗФ выполняются в виде цепочки одинаковых или разных по добротности резонаторов. Простой расчет ППФ может быть произведен с помощью графика, приведенного на рис. 3.9.

Пример.

Задано: полоса пропускания фильтра $f_{\text{пр.и}}=2000 \text{ МГц}$, $f_{\text{пр.в}}=3000 \text{ МГц}$, волновое сопротивление подводящих линий $\rho=50 \text{ ом}$.

Определить размер фильтра, выполненного на коаксиальной линии с $D=12 \text{ мм}$.

Из графика рис. 3.9 определяем $\Theta_0=145^\circ$.

Волновое сопротивление резонаторов фильтра (для конструкции 1)

$$Z = R \sin \theta_0 = 50 \cdot 0,57 = 26 \text{ ом}.$$

Если в качестве заполняющего диэлектрика возьмем фторопласт-4, то длина резонаторов согласно (3.13) будет равна

$$l = \frac{\lambda_{\text{ср},\nu}}{2\sqrt{\epsilon}} = \frac{100}{2 \cdot 1,41} = 35,4 \text{ мм.}$$

Емкость связи между резонаторами фильтра определим из формулы (3.14)

$$C = \frac{\operatorname{ctg}(90^\circ - 0,665)}{2\pi \cdot 2000 \cdot 10^6 \cdot 26} = 1,8 \text{ пФ.}$$

Определяем размеры элементов конструкции фильтра.

Волновое сопротивление 26 ом при полном заполнении отрезка линии передачи фторопластом-4 получается при соотношении диаметров $D/d=2$ (приложение 1, рис. П. 1.1).

Если $D=12,0 \text{ мм}$, то $d=6 \text{ мм}$; $l=35,4 \text{ мм}$, а толщина прокладок между резонаторами (при изготовлении из из фторопласта-4) равна

$$t = \frac{S \cdot c}{4\pi C} = 0,155 \text{ мм.}$$

Количество резонаторов фильтра зависит от заданных крутизны скатов и величины затухания (в полосах) задерживания фильтра.

Из графика, приведенного на рисунке, видно, что для случая $f_{\text{ср},\nu}/f_{\text{ср},z}=1,5$ максимальное затухание, вносимое одним резонатором, в полосе задерживания равно 20 дБ.

3.4. Паразитные полосы частотных характеристик фильтров СЧ

Причиной появления паразитных полос пропускания фильтров СЧ служит изменение от частоты характера сопротивления отрезков линии передачи, используемых в качестве реактивных элементов, или возбуждение в линии волн высших типов (см. приложение 2).

Проведенный [9] анализ Т-образной схемы ФВЧ, конструкция которой из 2 ячеек показана на рис. 3.1 а, с помощью точной эквивалентной схемы позволяет представить ход кривой характеристического сопротивления такого фильтра в диапазоне частот.

Сопротивления плеч такого фильтра равны (рис. 3.1а):

$$Z'_1 = \frac{1}{i \omega C}, \quad Z'_2 = i Z_1 \operatorname{tg} \frac{2\pi l_1}{\lambda_{\text{ср}}},$$

где Z_1 — сопротивление последовательного плеча ячейки фильтра,
 Z_2 — сопротивление параллельного плеча ячейки фильтра.

Подставляя значения сопротивлений плеч в выражения характеристического сопротивления ячейки Т-образного звена, получим

$$Z = \sqrt{\frac{Z_1}{\omega C} \left(\operatorname{tg} \theta - \frac{1}{4\omega C Z_1} \right)}. \quad (3.15)$$

На рис. 3.10 показан ход кривой характеристического сопротивления в полосы пропускания и задерживания фильтра. Как видно из полученной кривой, частотная характеристика ФВЧ такой конструкции имеет серию полос пропускания и задерживания. Так как обычно задаются основная полоса пропускания и полоса задерживания, остальные полосы фильтра получили название паразитных.

Подобный характер изменения частоты характеристики фильтра приводит к необходимости при конструировании фильтра СЧ определять положение паразитных полос пропускания или задерживания, а в случае необходимости (когда они попадают в рабочую полосу фильтра) принимать меры к их устранению.

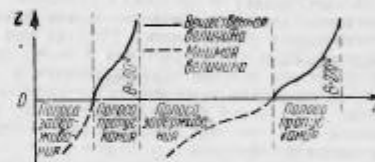


Рис. 3.10. Кривые характеристического сопротивления ФВЧ из коротких отрезков линии передачи

Эта задача особенно важна для широкополосных фильтров. В ряде случаев она включается в сам процесс расчета схемы фильтра. Например, в рассмотренном ранее способе расчета ФВЧ выбор величины отрезка линии передачи, используемого в качестве индуктивности, зависит от верхней частоты рабочего диапазона фильтра.

При других способах расчета фильтров СЧ приходится определять положение таких полос и принимать меры к их закрытию. Паразитные полосы появляются обычно на тех частотах, где отрезки линий передачи, используемые как емкостные или индуктивные элементы фильтра, попадают в режим резонанса, т. е. электрическая длина их становится кратной $\lambda/2$.

Однако при этом следует учитывать, что электрическая длина таких отрезков линии передачи изменяется за счет реактивностей, образующихся в месте стыка элементов.

Наиболее распространенный способ подавления паразитных полос заключается в конструировании фильтра из отрезков линий передачи различной длины. Например, в конструкции ФНЧ отрезок линии передачи, используемый в качестве индуктивности, может быть выполнен (при одном и том же значении его индуктивности) различной длины за счет изменения соотношения D/d .

4. Конструкция коаксиальных и полосковых фильтров

4.1. Конструктивное выполнение реактивных элементов фильтров свч

К настоящему моменту разработано значительное количество различных конструкций фильтров свч. Наиболее распространеными являются конструкции фильтров из коротких и резонансных отрезков передающих линий. Широкое распространение в последнее время получили также фильтры с электрической перестройкой, выполненные из сфер из железисто-иттриевых гранатов (ЖИГ).

При конструировании фильтров свч приходится учитывать ту особенность, что элементы фильтра изготавливаются путем механической обработки и имеют определенный разброс (в зависимости от точности выполнения) от требуемого значения.

Разброс размеров элементов фильтров может привести к ухудшению их электрических характеристик. Поэтому при жестких требованиях к электрическим характеристикам фильтра необходимо при разработке конструкции фильтра предусматривать в нем элементы подстройки, обеспечивающие возможность устранения неточностей его изготовления. Эта задача усложняется тем, что изменение величины реактивных элементов для фильтров свч из отрезков линии передачи выливается в изменение или длины отрезков или величин их волновых сопротивлений и включение элементов подстройки может в ряде случаев значительно усложнить конструкцию фильтра. Поэтому при разработке фильтра свч следует выбирать в качестве реактивного элемента отрезок линии передачи с такой конструкцией, которая обеспечивала бы максимальную простоту ее подстройки.

В ряде случаев конструкция фильтра может быть продиктована теми или иными условиями его работы. Например, особые требования к его ударной прочности делают нецелесообразным использование в качестве крепящих элементов диэлектрические втулки емкостных элементов фильтров.

Рассмотрим особенности конструктивного выполнения реактивных элементов, на основе которых могут быть построены схемы фильтров свч.

Наиболее распространенные конструкции реактивных элементов коаксиальных и полосковых линий, используемых при конструировании фильтров свч, и их эквивалентные схемы показаны на рис. 4.1.

На рис. 4.1а показаны три возможных варианта выполнения последовательной емкости.

Последовательная емкость образуется обычно за счет разрыва S-центральной жилы коаксиальной или полосковой линии. Когда требуется величина емкости велика, то размеры зазора получаются очень малыми. Это неудобно для практического выполнения схемы.

В этом случае емкость может быть выполнена в виде «ласточкин хвостов» для полосковой линии или диэлектрической трубы с длиной меньше четверти длины волны, располагаемой в месте разрыва центрального проводника коаксиальной линии. Иногда с це-

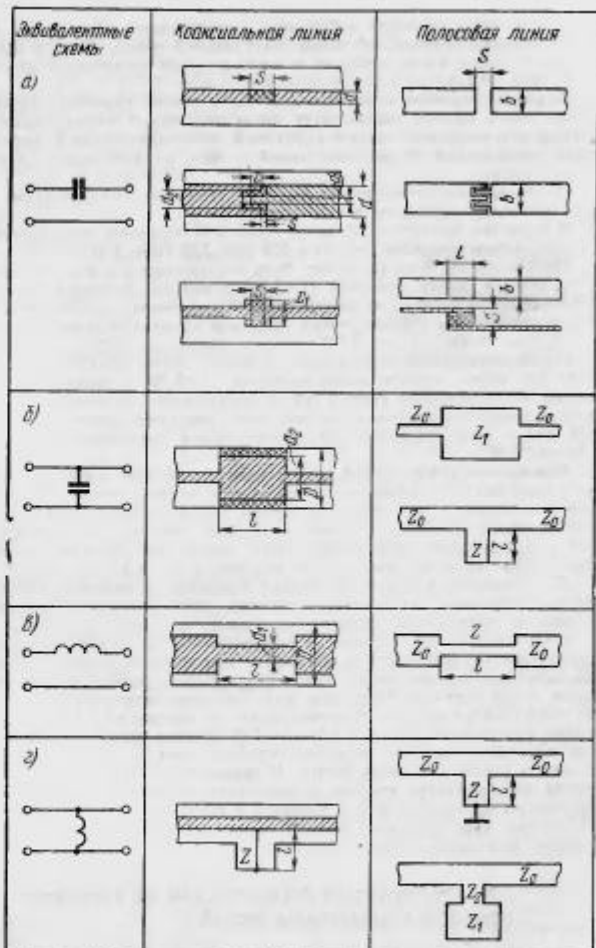


Рис. 4.1. Отрезки линий передачи, используемые в качестве реактивных элементов, и их эквивалентные схемы

лью увеличения площади «обкладок» конденсатора, образуемого в месте разрыва центральной жилы коаксиальной линии, диаметр центральной схемы линии передачи в месте разрыва увеличивают скачком (рис. 4.1c).

Большие значения емкости могут быть также получены путем включения в разрыв центральной жилы полосковой линии конденсатора, образованного двумя короткими перекрывающимися отрезками центральной жилы полосковой линии, разделенными слоем диэлектрика.

Наиболее распространенные типы диэлектриков, используемых в свЧ фильтрах, приведены в приложении 3.

В качестве контуров LC могут быть использованы резонансные отрезки линии передачи, кратные $\lambda/4$ или $\lambda/2$ (рис. 2.4).

Параллельная емкость может быть осуществлена в виде короткого отрезка линии передачи ($l < \lambda/8$) с большим волновым сопротивлением или в виде параллельно подключаемого к основной линии разомкнутого отрезка линии передачи длиной меньше четверти длины волны (рис. 4.1б).

Последовательная индуктивность может быть представлена в виде короткого отрезка линии передачи ($l < \lambda/8$) с большим волновым сопротивлением (рис. 4.1в), в параллельную индуктивность — в виде короткозамкнутого отрезка линии передачи длиной меньше $\lambda/4$ или в виде разомкнутого отрезка линии передачи с длиной $\lambda/4 < l < \lambda/2$.

При выборе той или иной конструкции реактивного элемента следует учитывать специфику его реализации в линии передачи. Например, включение в коаксиальную линию параллельного отрезка линии передачи связано с рядом достаточно сложных механических работ (соединение двух коаксиальных линий под прямым углом, постановка короткозамыкающего поршня и т. п.).

Для полосковой линии эта задача решается значительно проще. Здесь постановка параллельного отрезка линии передачи приведет только к увеличению ширины системы.

Определенное усложнение конструкции фильтра получается в случае необходимости установки короткозамыкающих поршней. Чтобы избежать их постановки, можно использовать более длинные отрезки линии передачи. Например, параллельную индуктивность можно представить в виде не короткозамкнутого отрезка с $l < \lambda/4$, а разомкнутого отрезка линии с $\lambda/4 < l < \lambda/2$. Однако такой отрезок линии передачи является хорошим приближением к индуктивности только в узком диапазоне частот. В широкополосных схемах в качестве индуктивности следует использовать специальную структуру, состоящую из отрезка линии передачи с большим волновым сопротивлением, нагруженный коротким разомкнутым отрезком линии с низким волновым сопротивлением.

4.2. Конструкции фильтров свЧ из коротких отрезков передающих линий

Короткие отрезки линий передачи наиболее часто используют при конструировании широкополосных фильтров ФНЧ, ППФ и ФВЧ. С целью обеспечения эквивалентности отрезков линий передачи сосредоточенным реактивностям необходимо, чтобы их дли-

на была значительно меньше одной восьмой самой короткой волны рабочего диапазона.

На рис. 4.2а показана конструкция коаксиального, а на рис. 4.2б—полоскового фильтров нижних частот из коротких отрезков передающих линий, состоящих из двух ячеек.

Реактивные элементы фильтра образуются за счет изменения диаметра внутреннего проводника коаксиальной линии или ширины полоски у полосковой линии.

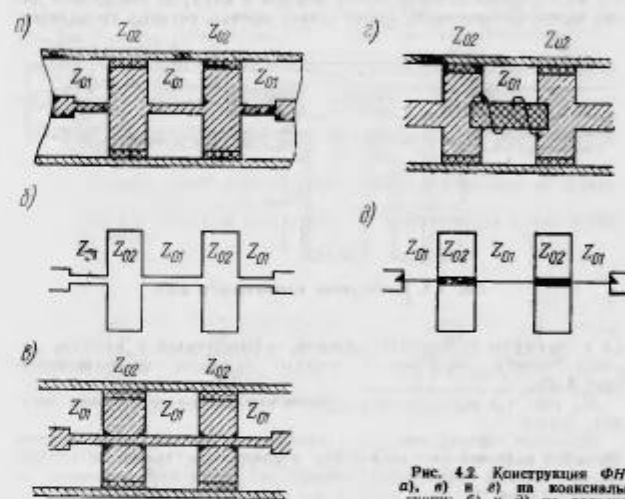


Рис. 4.2. Конструкции ФНЧ:
а), в) и с) на коаксиальной линии; б) и д) на полосковой линии.

Емкостные элементы коаксиального ФНЧ выполнены (как это видно из рис. 4.2а) в виде коротких отрезков линии передачи с малым волновым сопротивлением. С целью создания жесткой конструкции фильтра эти отрезки линии передачи обычно заполняются диэлектриком.

Определенные трудности возникают при выполнении длинных отрезков линии передачи с большим волновым сопротивлением. Обточка центрального проводника этого отрезка линии передачи связана со сложной работой на токарном станке.

Конструкция ФНЧ значительно упрощается, если в качестве центрального проводника отрезка линии с большим волновым сопротивлением использовать провод (médный, латунный), а отрезки линий передачи с малым волновым сопротивлением выполнять в виде

одетых и напаянных на него цилиндров соответствующего диаметра (рис. 4.2в).

В схемах фильтров, работающих в нижней части свч диапазона, длина отрезков линий передачи с большим волновым сопротивлением получается большой. С целью уменьшения габаритов фильтра центральную жилу таких отрезков выполняют в виде спирали на диэлектрическом стержне (рис. 4.2г).

Аналогичным образом для того, чтобы избежать сложных работ по созданию полоски малой ширины в ФНЧ, на полосковой линии можно использовать также тонкий провод, который припаявает-

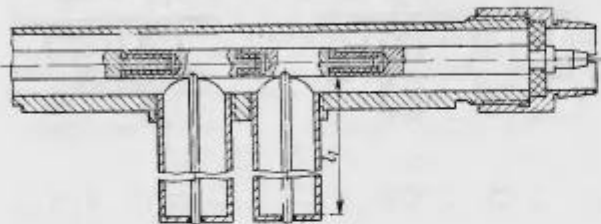


Рис. 4.3. Конструкция коаксиального ФВЧ

ся к полоскам с большой шириной, используемым в качестве отрезков линий передачи с малым волновым сопротивлением (рис. 4.2д).

На рис. 4.3 показана конструкция коаксиального фильтра верхних частот.

Величина короткозамкнутого отрезка передающей линии, используемой в качестве индуктивности, сделана подстраиваемой. Подстройку можно производить изменением длины короткозамкнутого отрезка линии передачи за счет его вворачивания или выворачивания из корпуза фильтра. Центральная жила отрезка линии передачи крепится с помощью вайки.

Подобная конструкция фильтра позволяет исключить короткозамыкающий поршень, который в данном случае получился бы очень сложным, так как диаметр внутренней жилы отрезка линии передачи, используемого в качестве индуктивности, мал (порядка 0,9 мм).

Значительно проще получается конструкция ФВЧ на полосковой линии. Параллельная индуктивность в конструкции такого фильтра может быть выполнена как в виде короткозамкнутого отрезка линии передачи, так и в виде разомкнутого (рис. 4.1 в и г).

Вид центральной жилы полосковой линии таких фильтров показан на рис. 4.4.

Последовательные емкости в таких фильтрах образуются в зависимости от их величин или разрывом полоски, или — при большой их величине (порядка 2–6 пФ) — соединением типа «ласточкин хвост» или перекрытием одной части центральной жилы полосковой линии другой с диэлектрической прокладкой между ними (рис. 4.1б).

$\Pi\Phi$ может быть получен путем соединения ФНЧ с частотой среза, равной верхней частоте среза $\Pi\Phi$, с ФВЧ с частотой среза, равной нижней частоте среза $\Pi\Phi$. При соединении таких фильтров необходимо соблюдать равенство их сопротивлений.

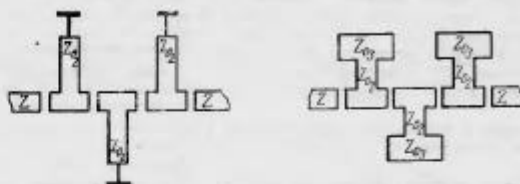


Рис. 4.4. Вид центральной жилы ФВЧ на полосковой линии

Разработаны также конструкции полосовых фильтров на коротких отрезках линии передачи.

На рис. 4.5 показаны конструкция и эквивалентная схема коаксиального $\Pi\Phi$.

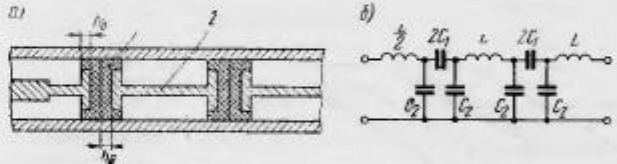


Рис. 4.5. Конструкция коаксиального $\Pi\Phi$ (а), его эквивалентная схема (б) и конструкция диэлектрического «колпачка» (в)

Ячейка такого фильтра состоит из двух диэлектрических «колпачков» — I (рис. 4.5а) и своеобразной металлической (латунной) «гантелями» — 2. Емкость C_1 (рис. 4.5б) образуется разрывом $2h_d$ центральной жилы коаксиальной линии, емкость C_2 — коротким отрезком h_b линии передачи. Короткий отрезок линии передачи и разрыв центральной жилы коаксиальной линии заполнены диэлектриком. Емкостные реактивные элементы в такой конструкции одновременно используются и как элементы крепления отрезков центральной жилы коаксиальной линии.

4.3. Конструкции фильтров из резонансных отрезков передающих линий

Резонансные отрезки линии передачи (резонаторы) наиболее широко используются в схемах $\Pi\Phi$ и $\Pi\Zeta\Phi$. Резонаторы могут быть включены в схеме фильтра с помощью отрезков линии пе-

передачи (фильтр с четвертьвольновой связью — рис. 4.6а) или непосредственно друг за другом (фильтр с непосредственной связью — рис. 4.6б). Фильтры с четвертьвольновыми связями удобны в настройке (можно настраивать каждый резонатор отдельно), но об-

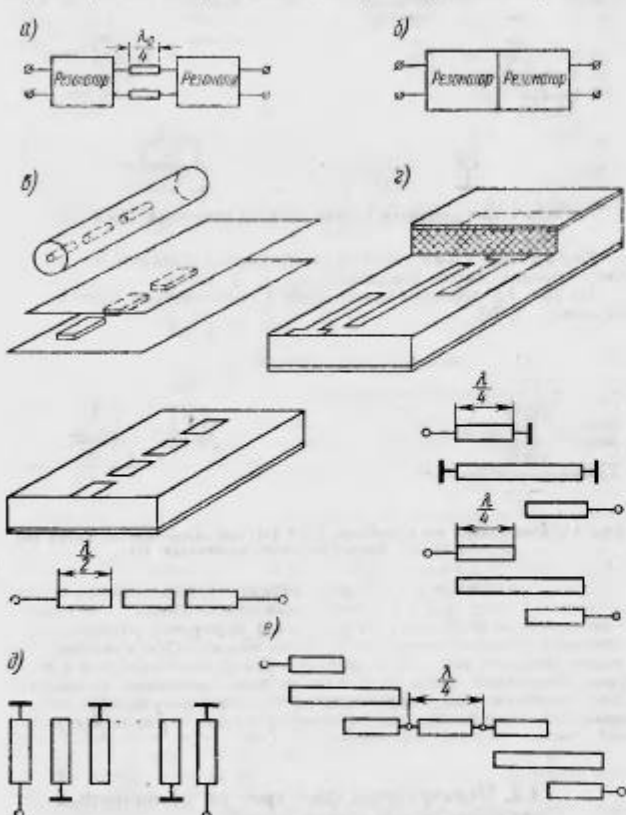


Рис. 4.6. Конструкции полосовых фильтров на резонансных отрезках линий передачи:
а) с четвертьвольновой связью, б) с непосредственной связью, в) при связи по торцу резонатора, г) на связанных линиях с непосредственной связью, д) на встречных линиях, е) на связанных линиях с четвертьвольновой связью

ладают большими габаритами, чем фильтры с непосредственной связью. Кроме того, они ограничены по полосе частот (до 15%), в которой сохраняется приемлемая точность расчета.

На рис. 4.6 в, г, д показаны схемы фильтров с непосредственной связью. В конструкции ППФ на коаксиальной линии необходимо осуществлять крепление резонансных отрезков линии передачи с точным соблюдением зазора между ними. Обычно этого достигают путем заполнения диэлектриком пространства между внутренним и наружным проводниками линии. Для получения широкой рабочей полосы в таких схемах фильтров необходимо создавать большую связь между резонаторами, т. е. обеспечивать большую величину последовательной емкости.

Поэтому зазоры между резонаторами получаются малыми и величина их будет критичной, что приводит к усложнению изготовления таких фильтров.

С целью уменьшения критичности размеров зазоров между пластинами разработана конструкция фильтров со связью между резонаторами не по торцу, а по боковым стенкам резонаторов (полосковый ППФ, рис. 4.6е). Такие фильтры называют также фильтрами на связанных линиях. В таких фильтрах связь между резонаторами не является чисто емкостной, так как перекрывающиеся участки резонаторов имеют длину $\frac{\lambda}{4}$ одну четверть длины волны и фаза вдоль них меняется. Между резонаторами в данном случае имеется магнитная и электрическая связь. Так как площадь соприкосновения резонаторов здесь получается больше, то это позволяет даже при большой величине связи между резонаторами делать зазоры между ними достаточно большими. Изменение величины связи можно добиваться различной добротности резонаторов и общей полосы фильтра. Стремление к уменьшению габаритов фильтров привело к появлению конструкций ППФ с встречными стержнями (рис. 4.6д). В таких фильтрах, как и в фильтрах с параллельно связанными линиями, величина связи между резонаторами не слишком критична.

Длина стержней такого фильтра может быть уменьшена за счет нагрузки их на концы емкостями.

На рис. 4.6е показана схема полоскового ППФ с четвертьвольновыми связями, которые заметно увеличивают его размеры.

4.4. Перестраиваемые фильтры

Перестройка фильтров свидетельствует о изменении размеров последних.

Для практических целей наиболее важными оказались узкополосные перестраиваемые фильтры, используемые как преселекторы. Более удобно в качестве таких фильтров использовать объемные резонаторы (рис. 4.7) с длиной $\frac{2n+1}{4}\lambda$. В этом случае только изменение длины центрального стержня резонатора позволяет изменять частоту его настройки.

На рис. 4.7а показано распределение тока и напряжения в различных по длине отрезках линий передачи (волны TEM) и линии электрического поля.

Связь резонатора с линией передачи можно осуществлять различными способами. Может осуществляться магнитная или емкостная связь.

В первом случае элементы связи располагаются в области наибольшего магнитного поля, вблизи от короткозамкнутого конца резо-

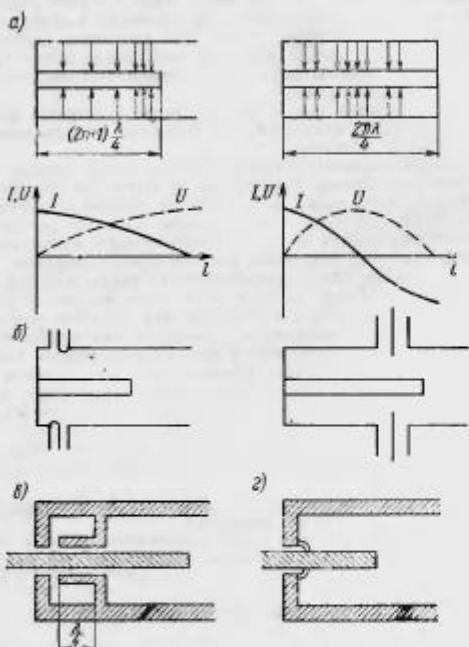


Рис. 4.7. Графики плотности токов, напряжений и конструкции элементов связи и перестройки резонаторов: а) кривые тока и напряжения, б) виды связи (магнитная и электрическая), в) бесконтактное короткозамыкающее устройство, г) контактное короткозамыкающее устройство

натора, во втором — в области наибольшего электрического поля, на расстоянии, кратном нечетному числу четвертей волны от короткозамкнутого конца резонатора (рис. 4.7б). На практике более широкое распространение получила магнитная связь.

40

Для обеспечения высоких электрических характеристик резонаторов необходимо осуществлять качественное короткое замыкание на одном или обоих концах резонатора.

В качестве короткозамыкающих устройств широкое распространение получили так называемые дроссельные соединения (рис. 4.7в), представляющие собой соединенные последовательно четвертьволновый разомкнутый отрезок линии передачи с малым волновым сопротивлением и короткозамкнутый четвертьволновый отрезок с большим сопротивлением. Такие соединения обеспечивают качественное замыкание в широком диапазоне частот (с перекрытием до 5-6).

Подобное соединение обеспечивает бесконтактное замыкание, т. е. не требует создания трущихся поверхностей, как, например, при использовании пружинных контактов (рис. 4.7г).

В том случае, когда требуется большая крутизна частотной характеристики фильтра, ставится не один, а несколько резонаторов.

4.5. Фильтры с электрической перестройкой частоты

Фильтры свЧ с электрической перестройкой частоты могут быть созданы путем заполнения части резонансного объема фильтра электрически перестраиваемыми реактивными элементами — диодами, варикторами, сегнетоэлектриками или ферритами (при работе в области, далекой от ферромагнитного резонанса), или газоразрядной плазмой и т. п.

Изменение частоты такого резонатора осуществляется изменением электрического поля (диоды, варикторы, сегнетоэлектрики) или магнитного (ферриты) поля.

Подобный способ перестройки фильтров обеспечивает сравнительно небольшой диапазон перестройки фильтра при низких значениях собственной добротности резонатора.

Значительно более широкое распространение получили фильтры на сферах ЖИГ — железисто-иттриевых ферритов со структурой граната.

Подобные фильтры обладают большой собственной добротностью и поэтому позволяют создавать полосовые фильтры с относительно низкими вносимыми потерями (1—2 дБ) или режекторные фильтры с большим затуханием в полосе задерживания.

В теории ферромагнетизма электрон молекулы иттриевого граната представляется волчком, имеющим постоянный угловой момент S и магнитный момент m , возникающий благодаря вращению электрона. Если поместить электрон в магнитное поле, не параллельное m , то он электрон начнет действовать момент вращения, вызывающий прецессию электрона вокруг направления постоянного магнитного поля.

Угол прецессии будет максимальным при ферромагнитном резонансе:

$$\omega_0 = \gamma_0 H_0, \quad (4.1)$$

где γ_0 — гиromагнитное отношение для электронного спина, равное $2,8 \cdot 10^6 \text{ rad/sec} \cdot \text{сек}$;

H_0 — постоянное магнитное поле.

Частота резонанса может быть также определена из соотношения:

$$f = 2.8 H, \quad (4.2)$$

где f — в $M_{\text{Гц}}$, H — в эрс.

Это свойство феррита и используется при конструировании фильтров на ЖИГ.

На рис. 4.8а, б представлена простейшая схема резонансного фильтра на сфере ЖИГ. Оси витков x и y пересекаются под прямым углом. На пересечении осей расположена сфера ЖИГ. Когда H_0 равно нулю, энергия между витками передаваться не будет (так

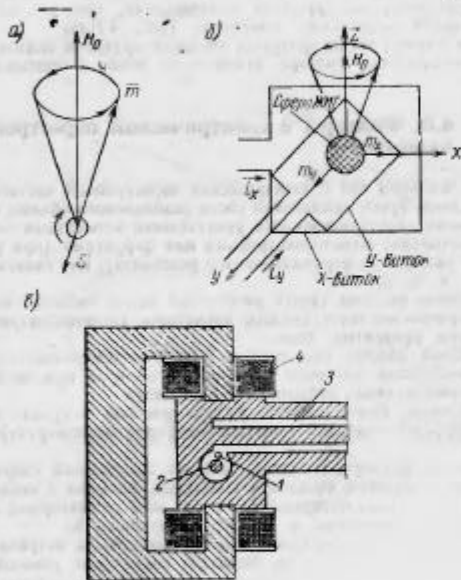


Рис. 4.8. Схема работы фильтра на сферах ЖИГ (а, б) и конструкция коаксиального фильтра на сфере ЖИГ (в)

как оси витков взаимно перпендикулярны). Если теперь приложить вдоль оси z постоянное магнитное поле H_0 и возбудить в y -витке высокочастотный ток i_y , то магнитный момент электронов в ферите начнет прецессировать относительно оси z , возбуждая высокочастотный магнитный момент m_x вдоль оси x . Этот момент индуктирует в x -витке высокочастотный ток i_x . Максимальная передача энер-

42

гии из одного витка в другой происходит на частоте ферромагнитного резонанса. Однако из (4.1) видно, что частоту ферромагнитного резонанса можно менять путем изменения постоянного магнитного поля H_0 .

Это позволяет создать фильтры с электрической перестройкой. На рис. 4.8в показана конструкция полосового одноконтурного фильтра на сфере ЖИГ. Сфера 1 помещена на пересечении двух коаксиальных линий 2 и 3, расположенных под прямым углом. При отсутствии постоянного поля эти линии не связаны (как и витки) потому, что их поля ортогональны. При ферромагнитном резонансе компонента магнитного поля в линии (например, 2) вызывает магнитный момент ЖИГ — кристалла с прецессией относительно постоянного магнитного поля. Это создает магнитное поле в линии 3. Изменение величины постоянного поля H_0 осуществляется при помощи электромагнита 4. Для обеспечения широкополосности фильтра отрезки линий передачи сразу за сферой ЖИГ замыкаются накоротко.

Диапазон перестройки аналогичных фильтров достигает десятикратного перекрытия. На основе сфер ЖИГ может быть также создан и простой ПЗФ. Он может служить отрезком коаксиальной линии с расположенной между проводниками сферой, которая на частоте резонанса создает большое отражение свч энергии (например, на 5000 $M_{\text{Гц}}$ получено $a_s=20 \text{ дБ}$ при Δf по уровню 3 дБ , равном 25 $M_{\text{Гц}}$).

4.6. Направленные фильтры бегущей волны

Рассмотренные выше фильтры свч относятся к отражающим фильтрам, действие которых основано на отражении энергии за полосой пропускания фильтра, т. е. величина a_s у таких фильтров в полосе пропускания мала, а в полосе задерживания велика. Однако за последнее время довольно широкое распространение получили направленные фильтры бегущей волны. Такие фильтры имеют малую величину a_s входа и в полосе пропускания и в полосе задерживания. Принцип действия их основан на образовании по вторичной линии направленного ответвителя резонанса в виде бегущей волны [10].

Если два направленных ответвителя соединить, как показано на рис. 4.9а, то выбором размера петли связи (из вторичных линий направленного ответвителя) можно настроить фильтр на полную передачу энергии из линии передачи (1—2) в линию (4—3). Такие фильтры характерны тем, что обладают малым отражением как в полосе пропускания, так и в полосе задерживания.

Разработаны различные конструкции фильтров бегущей волны. Конструктивно такие фильтры удобно выполнять на полосовой линии передачи. Возможные конфигурации полосок показаны на рис. 4.9а, б, в, г, д и е.

На рис. 4.3ж показаны экспериментальные характеристики двухрезонаторного фильтра бегущей волны с резонаторами, настроенными на разные частоты.

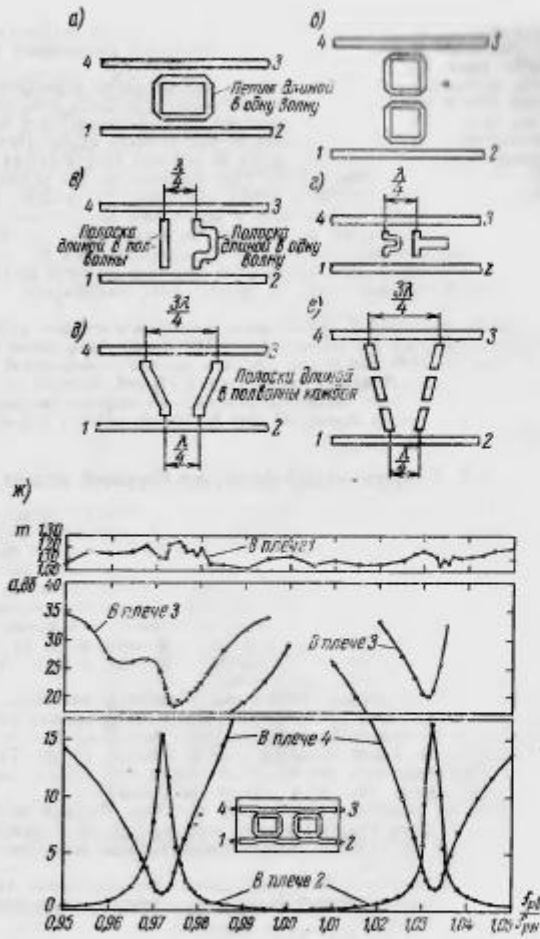


Рис. 4.9. Конструкция (а, б, в, г, д, е) и частотные характеристики фильтров бегущей волны (ж).

44

5. Измерение частотных характеристик фильтров, их настройка и регулировка

5.1. Измерение частотных характеристик фильтров

После расчета и изготовления фильтра свч определяется степень соответствия полученных его характеристик заданным.

В большинстве практических случаев в качестве исходных параметров расчета фильтров свч задаются величины потерь в полосах пропускания и задерживания фильтров (иногда задается также величина ксв).

Измерения должны показывать ли полученные характеристики заданным, и, если не соответствуют, то должны помочь установить, какие изменения в схеме фильтра нужно произвести, чтобы настроить его в соответствии с требуемыми характеристиками.

Современная техника свч измерений характеризуется значительным повышенным автоматизацией различных видов измерений, в том числе измерений затухания элементов свч тракта и их ксв. Однако паряду с автоматизацией все еще широкое распространение имеют измерения по точкам — на определенных частотах с последующим построением на основе полученных данных частотной характеристики фильтра.

В настоящее время разработано несколько методов измерения потерь [14] элементов свч (методы отношения мощностей, замещения, стоячих волн и резонансные).

Следует отметить, что требования, предъявляемые к частотным характеристикам фильтров, ставят задачу измерения затуханий широком интервале — от десятых долей децибела в полосе пропускания до нескольких десятков (40–50) децибел в полосе задерживания (см. приложение 4).

Измерение затухания фильтра (при любом методе измерений) можно производить только в том случае, когда сопротивление элементов измерительного тракта фильтра соответствует в точке включения сопротивлению нагрузки фильтра. Наиболее часто встречающимся на практике случаем является выбор в качестве сопротивления нагрузки фильтра сопротивленный линии передачи.

Из перечисленных выше методов измерения затуханий наибольшее распространение являются методы замещения и метод отношения мощностей. Блок-схемы измерительных установок потерь по этим методам показаны на рис. 5.1 и 5.2.

Основными элементами приведенных установок являются генератор свч, детекторная головка или супергетеродинный приемник,

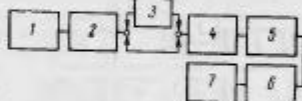


Рис. 5.1. Блок-схема измерения затухания фильтров методом отношения мощностей:

1 — генератор свч; 2, 4 — развязка (аттенюатор, вентиль); 3 — измеряемый фильтр; 5 — детектор; 6 — усилитель нс;

7 — индикатор

45

индикатор, устройство для измерения разности уровней сигналов на индикаторе при включенных и выключенных фильтрах, измерительный аттенюатор. Для обеспечения хорошей развязки измеряемого фильтра используются обычные ферритовые вентили или аттенюаторы (постоянные или переменные с затуханием не менее 10 дБ). В качестве развязки может быть использована также бухта кабеля с затуханием не менее 10–15 дБ и хорошим ксв.

Для повышения чувствительности измерительного тракта после детектора помещают усилитель вч. Частота модуляции генератора свч выбрасывается в соответствии с частотной характеристикой усилителя вч.

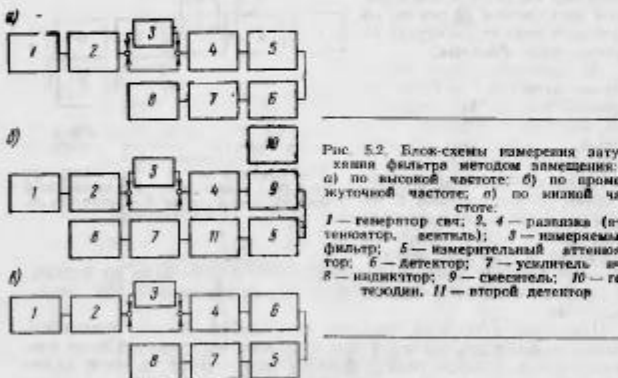
Метод отключения мощностей основная на определении вносимого фильтром затухания $a_{\text{вн}}$, $a_{\text{вн}}$ в соответствии с ур-нем (5.1) по результатам измерения мощности до и после включения измеряемого фильтра:

$$a = 10 \lg \frac{P_1}{P_2} = 20 \lg \frac{U_1}{U_2}, \quad (5.1)$$

где U_1 , P_1 — напряжение и мощность на выходе детектора, когда измеряемый фильтр исключен из тракта;

U_2 , P_2 — напряжение и мощность на выходе детектора при включении в измерительный тракт фильтра.

В качестве измерителя мощности свч используется кристаллический



ский детектор, работающий на квадратичном участке своей характеристики (этот метод называется также методом квадратичного детектора).

При измерении вносимых потерь фильтра методом замещения добиваются одинаковых показаний индикатора при включенных и выключенных из тракта измеряемом фильтре с помощью изменения затухания калиброванного аттенюатора, включенного в измерительный

46

тракт. Разность двух отсчетов по шкале аттенюатора (при включенном и выключенном фильтре) соответствует вносимому фильтром затуханию.

Возможны три варианта метода замещения:

- 1) по высокой частоте (рис. 5.2а);
- 2) по промежуточной частоте (рис. 5.2б);
- 3) по низкой частоте (рис. 5.2в).

Точность измерения методом замещения по высокой частоте зависит от точности измерительного аттенюатора и от точности согласования элементов тракта. Возможный диапазон измерений определяется диапазоном применения измерительного аттенюатора.

Метод замещения по промежуточной частоте (супергеродинный метод замещения) основан на использовании амплитудной линейности процесса преобразования свч в промежуточную частоту. Это позволяет осуществлять измерение вносимого фильтром затухания по отсчетам аттенюатора, расположенного в тракте промежуточной частоты. Положительным свойством этого метода измерения является возможность использования одного и того же аттенюатора в широком диапазоне частот измерений. Аналогичным положительным свойством обладает и схема замещения по низким частотам.

В ряде случаев к фильтрам свч предъявляют требования по величине ксв. Блок-схема измерения ксв приведена на рис. 5.3. Диапазон работы выпускаемых серийно колхозных измерительных линий приведен в приложении 5.

При измерениях ксв фильтра следует учитывать, что практические измеряются ксв двух последовательно включенных элементов. В зависимости от получающихся фазовых соотношений общая величина ксв может получаться в пределах от $\frac{m_F}{m_{\text{нагр}}}$ до $m_F \cdot m_{\text{нагр}}$.

Поэтому при точных измерениях ксв фильтра следует брать нагрузки с минимально возможным ксв ($m < 1,05$).

Процесс измерения частотных характеристик фильтров может быть значительно упрощен, если использовать автоматические измерители ксв и затухания в требуемом диапазоне частот.

В настоящее время наша промышленность выпускает автоматические измерители с параметрами, указанными в приложении 5.

5.2. Элементы настройки фильтров свч

Как уже рассматривалось ранее, особенность реализации фильтров свч по сравнению с низкочастотными схемами заключается в том, что они выполняются из отрезков линий передачи. Изменение параметров элементов таких фильтров связано с изменением длины и волновых сопротивлений отрезков линий передачи.

Для избежания сложных механических работ в процессе настройки и регулировки фильтров свЧ в схеме фильтра обычно предусматривают элементы его подстройки. Они выбираются таким образом, чтобы или можно было скомпенсировать неточности изготовления фильтра и разброс параметров используемого в схеме фильтра ди-

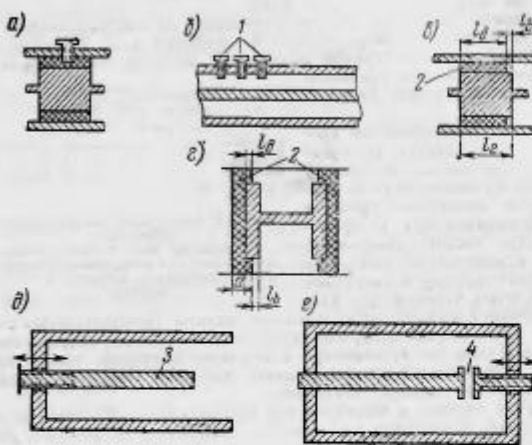


Рис. 5.4. Элементы настройки фильтров свЧ:
 а), б) ёмкостные винты; в), г) комбинированный диэлектрик;
 д) центральная жила резонатора; е) торцевая ёмкость

электрика. Наиболее приемлемыми являются элементы настройки, которые позволяют осуществлять регулировку фильтра снаружи без его разборки.

В целях упрощения настройки фильтра целесообразно предусмотреть в его конструкции минимально возможное число подстраиваемых элементов.

Рассмотрим возможные конструкции элементов настройки фильтров для отрезков линии передачи, используемых в качестве параллельных в последовательных ёмкостях и индуктивностях.

Для изменения величины параллельной ёмкости, выполняемой в виде короткого отрезка линии передачи, применяют конструкции, показанные на рис. 5.4а. Такой настроочный элемент состоит из одного или нескольких винтов I_1 .

Изменение расстояния от торца винта до внутреннего проводника позволяет изменять ёмкость отрезка линии передачи, используемого в качестве ёмкости в схеме свЧ фильтра.

48

Ёмкость такого отрезка линии передачи может быть также изменена путем заполнения его комбинированным диэлектриком, состоящим из двух (или более) диэлектриков с различной величиной диэлектрической проницаемости (ϵ_1 и ϵ_2 , на рис. 5.4б). Обычно в качестве второго диэлектрика используется воздух и изменение ёмкости производится в этом случае уменьшением или увеличением области заполнения отрезка линии передачи диэлектриком 2 (рис. 5.4б, г).

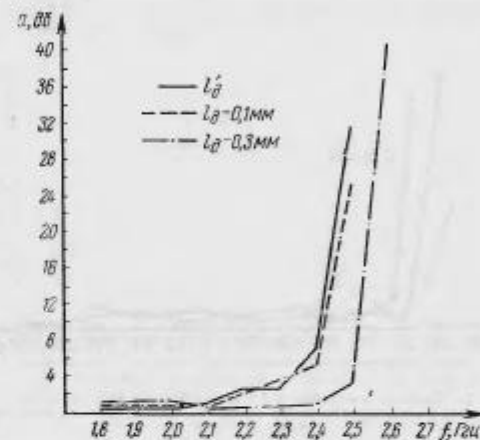


Рис. 5.5. Изменение частотной характеристики ФНЧ при настройке

На рис. 5.5 показано изменение частотной характеристики ФНЧ из коротких отрезков линии передачи, состоящих из 6 ячеек (рис. 3.1б), при изменении объема диэлектрика, заполняющего отрезок I_d линии передачи с малым волновым сопротивлением. При этом уменьшалась длина диэлектрического цилиндра I_d в отрезке линии передачи с малым волновым сопротивлением (рис. 5.4е).

Для подобной конструкции фильтра настройку на требуемую частоту среза наиболее просто производить именно ёмкостным элементом, так как для изменения индуктивности фильтра необходимо увеличивать или уменьшать длину отрезков I_d линии передачи с большим волновым сопротивлением (рис. 3.1б), или их волновое сопротивление, что требует сложных токарных работ.

Винт может быть использован для небольшой подстройки длины отрезка линии передачи (рис. 5.4б), так как изменение ёмкости регулировочного элемента приводит к изменению электрической длины отрезка линии передачи.

49

Длина короткозамкнутого отрезка линии передачи в схеме фильтра может быть изменена короткозамыкающим поршнем.

Разработанные к настоящему моменту конструкции позволяют в ряде случаев избежать включения поршня перестройки в конструкцию фильтра. На рис. 4.3 показана рассматриваемая ранее конструкция ФВЧ с индуктивностью, выполненной в виде короткозамкнутого отрезка высокомоментной линии передачи.

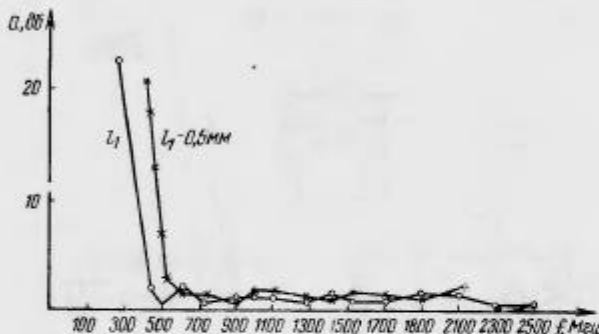


Рис. 5.6. Графики настройки ФВЧ на требуемую частоту среза изменения длины отрезка линии передачи, используемого в качестве индуктивности

Внешний проводник отрезка выполнен в виде стакана с отверстием в лице для внутреннего проводника. Длина отрезка изменяется путем винчестера или вывинчивания внешнего проводника в корпус фильтра, а крепление центральной линии осуществляется пайкой.

На рис. 5.6 показано изменение частотной характеристики ФВЧ, получающееся при регулировке подобного индуктивного элемента фильтра — изменения длины отрезка — l_1 (рис. 4.3). Выбранный элемент настройки фильтра является для данной схемы оптимальным. Изменение частоты среза фильтра можно было бы осуществлять изменением последовательных емкостей. Однако это потребовало бы для каждого изменения их величины полной разборки фильтра, что, естественно, затруднило бы процесс настройки фильтра.

Для настройки полосового фильтра (рис. 4.5а) в соответствии с зависимостями, связывающими частоты его среза с величинами реактивностей его эквивалентной схемы, в качестве элементов настройки могут быть выбраны (из-за простоты подстройки) емкостные элементы C_1 и C_2 (рис. 4.5а). Величина емкостей может из-

меняться путем изменения толщины дна колпачка (h_2 на рис. 4.5а).

Что, как видно из выражения $f_{\text{ср.в}}^2 = \frac{2}{4\pi^2 L(C_2 + 2C_1)}$, влияет в основном на положение нижней частоты среза, или высоты бортика h_6 , что влияет на положение верхней частоты среза фильтра

$$f_{\text{ср.в}}^2 = \frac{2}{4\pi^2 LC_2}.$$

На рис. 5.7 показаны кривые экспериментальной подгонки фильтра на требуемую верхнюю частоту среза.

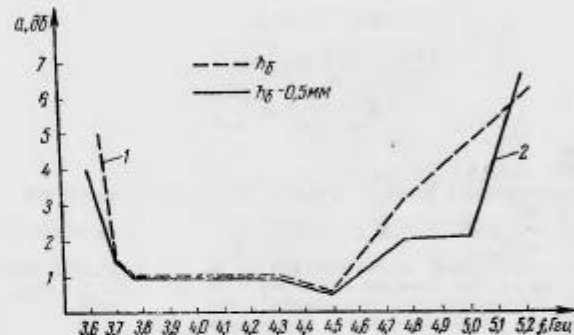


Рис. 5.7. Графики настройки ППФ при изменении величины параллельной емкости звена

Экспериментально снятая частотная характеристика изготовленного фильтра 1 показала, что полученная величина $f_{\text{ср.в}}$ (по уровню 3 дБ) лежит ниже требуемой величины $f_{\text{ср.в}}$, равной 5,0 Гц. Причиной такого расхождения может быть неточность изготовления элементов фильтра или несоответствие примененного в фильтре диэлектрика (по величине ϵ) с расчетным.

Из приведенных выше выражений видно, что $f_{\text{ср.в}}$ может быть повышен путем уменьшения емкости C_2 . Конструктивно это было достигнуто путем уменьшения высоты бортика h_6 колпачка на 0,5 мм. Измеренная вторично частотная характеристика 2 показала, что после такой подстройки $f_{\text{ср.в}}$ повысилась до 5,0 Гц, чего и требовалось добиться.

В резонаторах (коаксиальных и полосковых) изменение частоты настройки может происходить различными путями. Резонаторы с одной разомкнутой стенкой (рис. 5.4д) можно подстраивать изменением длины центрального проводника 3 резонатора или путем изменения величины торцевой емкости 4 на разомкнутом конце резонатора.

Приложение 1

ВОЛНОВЫЕ СОПРОТИВЛЕНИЯ ЛИНИЙ ПЕРЕДАЧИ

Коаксиальная линия передачи

Волновое сопротивление линии без потерь равно

$$Z = \frac{60}{V_{sp}} \ln \frac{D}{d},$$

где

Z — волновое сопротивление коаксиальной линии, ом;
 D — внутренний диаметр наружного проводника коаксиальной линии;
 d — наружный диаметр внутреннего проводника коаксиальной линии;
 $\epsilon_{r\mu}$ — относительная диэлектрическая и магнитная проницаемости среды, заполняющей линию передачи; величины в наиболее распространенных диэлектриках даны в приложении 3; μ для воздуха и большинства диэлектриков равен 1.

График зависимости волнового сопротивления коаксиальной линии от отношения D/d и заполняющего линию диэлектрика приведен на рис. П. 1.1а.

Полосковая линия передачи

Волновое сопротивление ленточной линии определяется ее синусом на единицу длины

$$Z = \frac{V_{sp}}{3C} 10^6,$$

где Z — волновое сопротивление, ом;
 ϵ , μ — относительные диэлектрическая и магнитная проницаемости среды, заполняющей линию передачи;
 C — поточная емкость, пФ/м.

На рис. П. 1.1б приведены кривые зависимости волнового сопротивления симметричных и несимметричных полосковых линий от их геометрических размеров и материала диэлектрика.

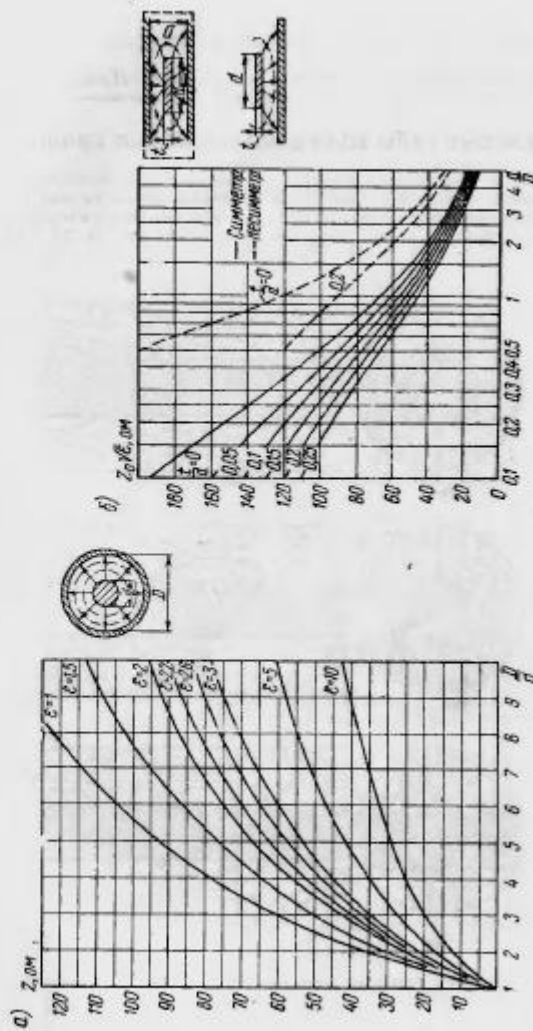


Рис. П.1.1. Зависимость волнового сопротивления коаксиальной (а) и полосковой (б) линий передачи от их геометрических размеров и диэлектрической проницаемости диэлектрика, заполняющего линию передачи

Приложение 2

ВЫСШИЕ ТИПЫ ВОЛН В КОАКСИАЛЬНОЙ ЛИНИИ

Наряду с волной типа TEM в коаксиальной линии могут распространяться поперечно-электрические E и поперечно-магнитные H волны. Структура полей этих волн показана на рис. П.2.1 и П.2.2.

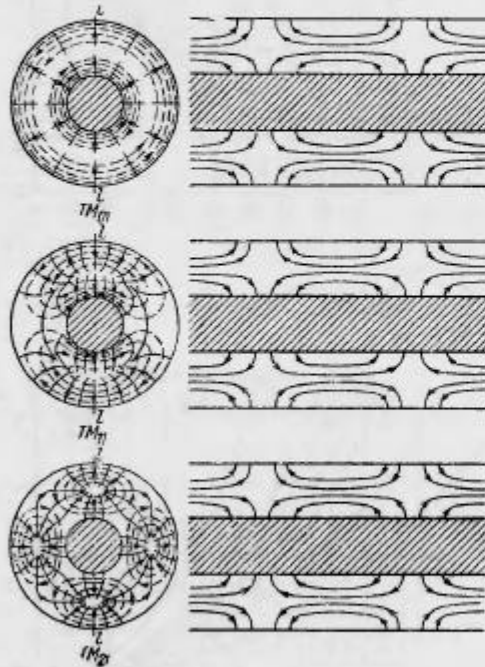


Рис. П.2.1. Структура полей волн TM_{11} , TM_{21} и TM_{31} в коаксиальной линии

Из этих типов волны наибольшей критической длиной волны обладает H_{11} .

Возможность появления волн этого типа ограничивает диапазон работы коаксиальной линии за волны основного типа TEM:

$$\lambda'_{11} < \lambda_{TEM} < \infty.$$

Критическая длина волны H_{11} связана с размерами коаксиальной линии следующими соотношениями:

$$\lambda'_{11} \approx \frac{\pi}{2} (D + d),$$

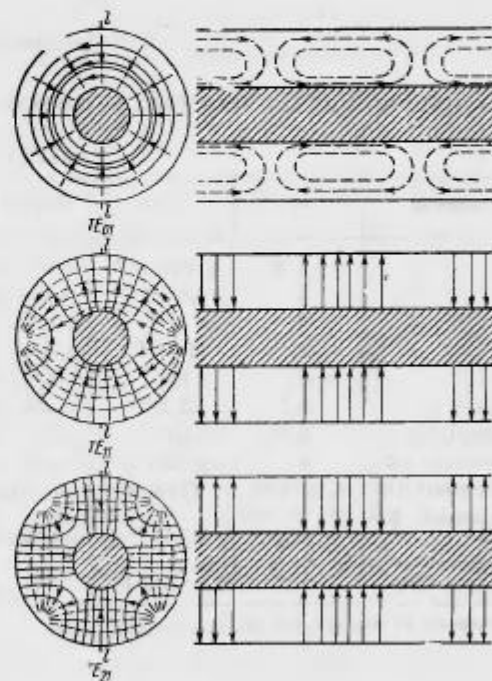


Рис. П.2.2. Структура полей волн TE_{10} , TE_{20} и TE_{30} в коаксиальной линии

Следующие (по значению критической длины волны) колебания связаны с размерами коаксиальной линии соотношениями:

$$a) H_{21} \lambda'_{21} \approx \frac{\pi}{4} (D + d),$$

$$b) H_{31} \lambda_{31} \approx \frac{\pi}{6} (D + d),$$

$$c) E_{41} \lambda_{41} \approx \frac{\pi}{8} (D + d),$$

$$d) E_{51} \lambda_{51} \approx (D - d).$$

Приложение 3

ХАРАКТЕРИСТИКИ ДИЭЛЕКТРИЧЕСКИХ МАТЕРИАЛОВ

Таблица П.3.1

Марка материала	ϵ'	$\operatorname{tg} \delta^{\circ}$	Рабочий диапазон $t, ^\circ\text{C}$
ПТ-1	2,48	$(7 \div 9) \cdot 10^{-4}$	$-60 \div +70$
ПТ-5	5	$7,5 \cdot 10^{-4}$	$-60 \div +75$
ПТ-7	7	$9 \cdot 10^{-4}$	$-60 \div +80$
ПТ-10	10	$12 \cdot 10^{-4}$	$-60 \div +85$
ПТ-16	16	$2 \cdot 10^{-3}$	$-60 \div +90$
Фторопласт-4	2,2	$2,5 \cdot 10^{-4}$	$-60 \div +250$
Сополимер САМ	2,6	$6 \cdot 10^{-4}$	$-60 \div +80$
Стеклотекстолит ОФ-2	6	$(25 \div 35) \cdot 10^{-3}$	$-60 \div +8$
Стеклотекстолит СКМ-1	4,16 \div 4,83	$(3 \div 6) \cdot 10^{-3}$	$-60 \div 1200$
Фольгированный фторопласт	2,0 \div 2,1	$2,5 \cdot 10^{-4}$	$-60 \div +250$
Фольгированный стеклотекстолит СФ1А	6	$(2,5 \div 3,5) \cdot 10^{-2}$	$-60 \div +120$

^{a)} Измеряется на частоте $f = 10^6 \text{ Гц}$.

Приложение 4

ЕДИНИЦЫ ИЗМЕРЕНИЯ ЗАТУХАНИЯ ФИЛЬТРОВ (ДЕЦИБЕЛЫ, НЕПЕРЫ)

Потери, вносимые фильтром при включении его между двумя элементами тракта передачи, например, между генератором и нагрузкой, могут быть определены коэффициентом ослабления L :

$$L = P_1/P_2,$$

где P_1 — мощность на входе фильтра,

P_2 — мощность на его выходе.

Для пассивных систем $L < 1$.

Пользоваться коэффициентом ослабления не всегда удобно. В том случае, когда используется несколько элементов (несколько ячеек, фильтров и т. п.), общий коэффициент ослабления может быть найден как произведение коэффициентов ослабления отдельных элементов:

$$L_T = L_1 L_2 \dots L_n.$$

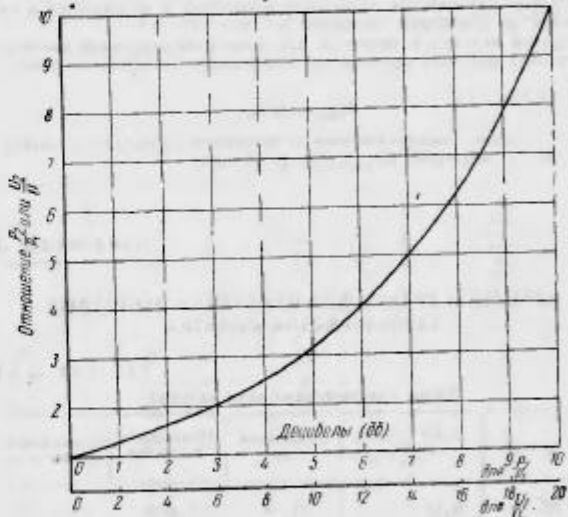


Рис. П.4.1. График перевода отношений U_1/U_2 и P_1/P_2 в децибели как произведение коэффициентов ослабления отдельных элементов:

Умножение ряда чисел вообще не представляет труда, но занимает много времени. Поэтому на практике прибегают к использованию логарифмических величин — децибелов и непера. Это позволяет от операции умножения перейти к операции суммирования:

$$\lg L_x = \lg L_1 + \lg L_2 + \dots + \lg L_n.$$

Ослабление в децибелах b связано с коэффициентом ослабления по мощности следующей зависимостью:

$$b = 10 \lg L,$$

или

$$L_n = 10^{\frac{b}{10}}.$$

В случае же определения коэффициента ослабления по напряжению в децибелах связь между ним и ослаблением в децибелах определяется зависимостью

$$b = 20 \lg L_n.$$

График зависимости отношений мощностей и напряжений и затуханий в децибелах приведен на рис. П. 4.1.

Другой величиной, принятой для измерения затуханий, является непер. Эта величина основана на натуральных логарифмах отношений:

$$b_{\text{неп}} = \ln L_n.$$

Соотношение между непером и децибелом определяется зависимостью: 1 неп = 8,69 дБ; 1 дБ = 0,115 неп.

Приложение 5

ЭЛЕМЕНТЫ ТРАКТА ДЛЯ ИЗМЕРЕНИЯ ЧАСТОТНЫХ ХАРАКТЕРИСТИК ФИЛЬТРА

Таблица П.5.1

Линии измерительные коаксиальные

Тип прибора	Диапазон частот Гц	Собственный ксв	Погрешность измерения %	Сопротивление в тракте ом
P1-5A	0,15÷1	1,04	6,0	75 и 50
P1-6A	0,5÷3,0	1,04	6,5	75 и 50
P1-2	1÷3,75	1,05	10	50
P1-3	2,5÷10,35	1,06	10	50

Таблица П.5.2

Автоматические измерители ксв и ослабления (затухания) свч элементов

Тип прибора	Диапазон частот Гц	Пределы измерения ксв	Погрешность измерения %, при их различных значениях		Пределы измерения ослабления дБ	Погрешность измерения ослабления дБ	Сопротивление в тракте ом
			ксв 1,00± -1,5	ксв 1,5±2			
P2-17	0,3÷0,5	1,06÷2	—	7	0÷27	(0,5±0,05)1	50 и 75
P2-8	0,5÷1,5	1,03÷2	5	7	0÷35	(0,25±0,05) a	50 и 75
P2-9	0,5÷1,5	1,03÷2	5	7	0÷35	(0,25±0,05) a	75
P2-10	0,5÷1,5	1,03÷2	5	7	0÷35	(0,25±0,05) a	50

^a Измеряемое ослабление

Таблица П.5.3

Аттенюаторы коаксиальные фиксированные

Тип прибора	Диапазон частот, Мгц	Ослабление дБ	Погрешность дБ	ксв	Найбольшая допустимая мощность вт	Сопротивление в тракте ом
D2-1	350÷600	20	1,5	1,3	5	75
D2-2	350÷600	30	2,0	1,3	5	75
D2-3	350÷600	30	3,0	1,3	100	75
D2-16	350÷600	12	+2,5; -0,5	1,5	5	75
D2-8	150÷2700	5	0,5	1,5	1	75
D2-9	150÷2700	10	2,0	1,5	1	75
D2-10	150÷2700	20	2,0	1,5	1	75
D2-11	2700÷5600	10	2,0	1,6	1	50
D2-12	2700÷5600	20	4,0	1,6	1	50

пленные

Тип прибора	Диапазон частот Гц	Ослабление		кСВ	Наибольшая допустимая мощность вт	Сопротивление вч тракта ом
		пределы	погрешность			
Д2-13	0,5÷3,0	9÷40	0,7	1,5	3,0	75
Д2-14	1,0÷3,0	9÷40	0,7	1,4	3,0	50
Д2-17	0,0÷3,0	10÷70	(0,8÷0,01) ¹⁾ а	1,25	0,5	50
Д2-18	0,0÷3,0	10÷70	(0,8÷0,01) ¹⁾ а	1,25	0,5	75
Д2-19	0,0÷3,0	15÷115	(0,8÷0,01) ¹⁾ а	1,3	0,5	50
Д2-20	0,0÷3,0	15÷115	(0,8÷0,01) ¹⁾ а	1,3	0,5	75

¹⁾ Измеренное ослабление.

Таблица П.5.4

Бентили коаксиальные

Тип прибора	Диапазон частот Гц	Приним. потери дБ	Обрат. потери дБ	Мощность рассеяния вт	кСВ	Сопротивление вч тракта ом
98-8	0,9÷1,8	1,5	15	2	1,3	75
98-9	0,9÷1,8	1,5	15	2	1,3	50
98-10	1,0÷2,0	2,0	15	2	1,3	75
98-12	1,5÷3,0	1,5	20	5	1,3	75
98-13	1,5÷3,0	1,5	20	5	1,3	50
98-14	2,0÷4,0	1,5	20	5	1,3	50
98-15	2,35÷4,7	1,5	20	5	1,3	50
98-16	4,0÷7,0	1,5	20	5	1,3	50

Таблица П.5.5

Головки детекторные коаксиальные

Тип прибора	Диапазон частот Гц	Чувствительность мкв/нам	вч тракт ом	кСВ	Тип диода
Э7-11	1,7÷4,2	500	50	3	Д403В
Э7-12	4,0÷7,2	500	50	3	Д403В

Приложение 6

КОЭФФИЦИЕНТ СТОЯЧЕЙ ВОЛНЫ

Качество работы линии и элементов сач тракта, в том числе фильтров, характеризуется кСВ и затуханием.

Для эффективной работы линии передачи и элементов необходимо, чтобы вдоль них устанавливалась бегущая волна. Однако в случае несогласованности сопротивлений элементов образуется отраженная волна. Складываясь с бегущей волной, отраженная волна создает стоячую волну, которая и характеризуется коэффициентом стоячей волны.

Величина кСВ может быть найдена из отношения максимального напряжения (в пучности) к минимальному (в узле):

$$k_{\text{СВ}} = \frac{U_{\text{макс}}}{U_{\text{мин}}} = m.$$

В идеальном случае, когда нет отраженной волны, кСВ равен единице.

Стоячую волну характеризуют также коэффициентом отражения ρ , который равен отношению напряжения отражений волны к напряжению падающей волны. Они связаны отношением

$$\rho = \frac{1 + |p|}{1 - |p|},$$

где

$$|p| = \frac{U_{\text{отр}}}{U_{\text{пад}}}.$$

Литература

1. Белецкий А. Ф. Теоретические основы электропроводной связи. Часть III. Синтез реактивных четырехполюсников и электрических фильтров. Связьиздат, 1959.
2. Листов В. Н. Элементарная теория синтеза фильтров. Трансжелдориздат, 1963.
3. Фельдштейн А. Л., Явич Л. Р. Синтез четырехполюсников и восемьиполюсников на свч. Изд-во «Связь», 1965.
4. Юзинский В. И. Техника сверхвысоких частот (волно-воздушно-резонаторные устройства). ВКАС, 1967.
5. Босый Н. Д. Электрические фильтры. Изд-во технической литературы УССР, 1960.
6. Никольский В. В. Теория электромагнитного поля. Высшая школа, 1961.
7. Машковцев Б. М., Цибизов К. Н. и Емелин Б. Ф. Теория волноводов. Наука, 1966.
8. Соболин Я. А. Расчет полиномиальных фильтров. Связьиздат, 1963.
9. Техника сверхвысоких частот. Ч. I. Перевод с английского под редакцией А. Л. Фельда. Изд-во Сов. Радио, 1952.
10. Коал Ф. Направленный фильтр бегущей волны. «Вопросы радиолокационной техники», 1957, № 3 (39).
11. Маттей. Полосовые фильтры со встречными стержнями. Зарубежная радиоэлектроника, 1963, № 7.
12. Печатные схемы сантиметрового диапазона, под ред. В. И. Сушкиевича. Изд-во иностранной литературы, 1956.
13. Полосковые системы сверхвысоких частот, под ред. В. И. Сушкиевича. Изд-во иностранной литературы, 1959.
14. Гинзбург Э. Л. Измерения на сантиметровых волнах. Изд-во иностранной литературы, 1960.
15. Изюмова Т. И., Свиридова В. Т. Полые и ленточные радиомолниеводы. Госэнергоиздат, 1960.
16. Модель А. М. Фильтры свч в радиорелейных системах. Связь, 1967.
17. Whinneg G. R., Jamieson H. W., Robbins T. E. Неоднородности в коаксиальных линиях. Proc IRE, 1944, v. 32.
18. Фельдштейн А. Л., Явич Л. Р., Смирнов В. П. Справочник по элементам волноводной техники. Советское радио, 1967.

ОГЛАВЛЕНИЕ

Предисловие	3
1. Классификация и возможные структуры фильтров свч	4
1.1. Классификация фильтров свч	4
1.2. Основные структуры и физические основы работы фильтров свч	6
2. Особенности конструирования фильтров свч	8
2.1. Ограничение возможностей использования сосредоточенных реактивных элементов на свч	8
2.2. Отрезки линий передачи как реактивные элементы свч тракта	10
3. Основы расчета фильтров свч	12
3.1. Метод эквивалентных схем	12
3.2. Особенности использования отрезков линий передачи в качестве реактивных элементов в фильтрах свч	14
3.3. Основные направления расчета фильтров свч	17
3.4. Паразитные полосы частотных характеристик фильтров свч	30
4. Конструкции коаксиальных и полосковых фильтров	32
4.1. Конструктивное выполнение реактивных элементов фильтров свч	32
4.2. Конструкция фильтров свч из коротких отрезков передающих линий	34
4.3. Конструкции фильтров из резонансных отрезков передающих линий	37
4.4. Перестраивающиеся фильтры	39
4.5. Фильтры с электрической перестройкой частоты	41
4.6. Направленные фильтры бегущей волны	44
5. Измерение частотных характеристик фильтров, их настройка и регулировка	45
5.1. Измерение частотных характеристик фильтров	45
5.2. Элементы настройки фильтров свч	47
Приложения	
1. Волновые сопротивления линий передачи	52
2. Высшие типы волн в коаксиальной линии	54
3. Характеристики диэлектрических материалов	57
4. Единицы измерения затухания фильтров (дб, дБ/дб)	58
5. Элементы тракта для измерения частотных характеристик фильтра	60
6. Коэффициент стоячей волны	63
Литература	64